

The European Ground Motion Service For Cultural Heritage Monitoring

Ferrigno F., Menniti F., Leoni G., Spizzichino D.



Bradford

Leeds



Department of Geological Survey of Italy

FRINGE 2023

University of Leeds, UK | 11 - 15 September 2023.



Our team



Italian Institute for Environmental Protection and Research - Department for The Geological Survey of Italy

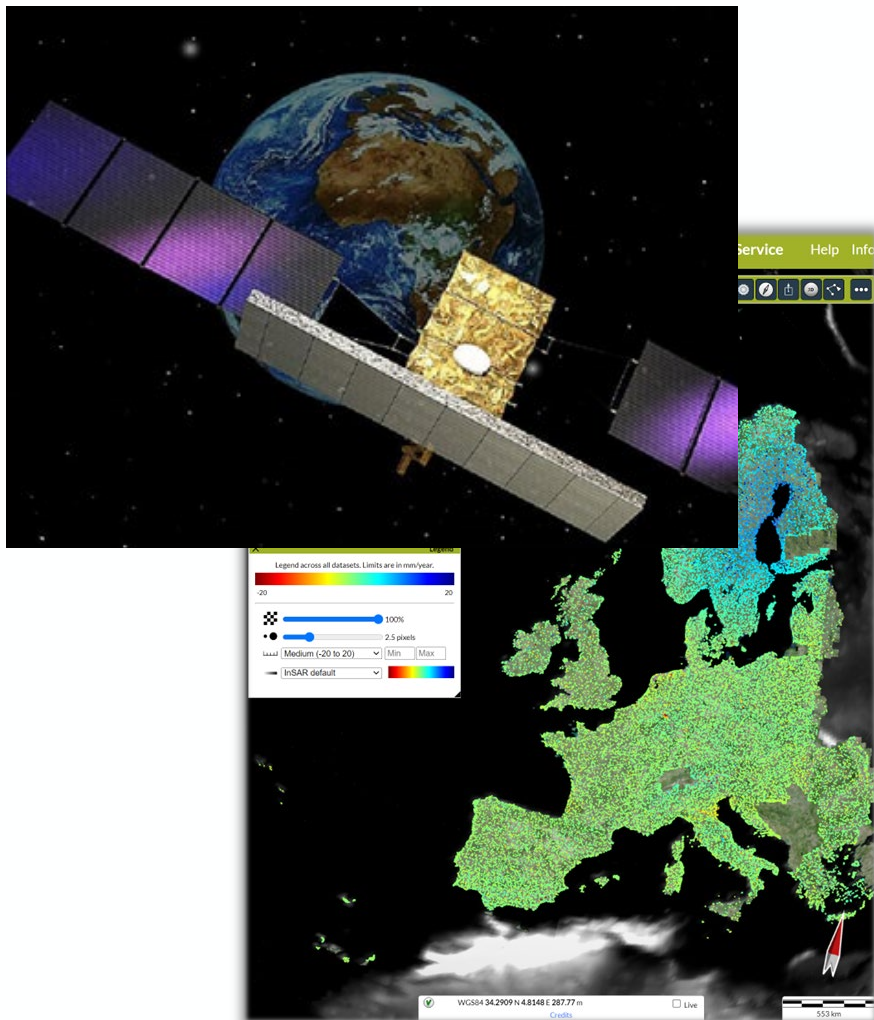
ITA ENG

Geological Survey of Italy Portal

[Home Page](#) [Information Content](#) [Access to Data](#) [Geoviewer](#) [Italian Network of Geological Surveys](#) [About us](#)



Introduction



★ Archaeological area of the Phlegrean Fields

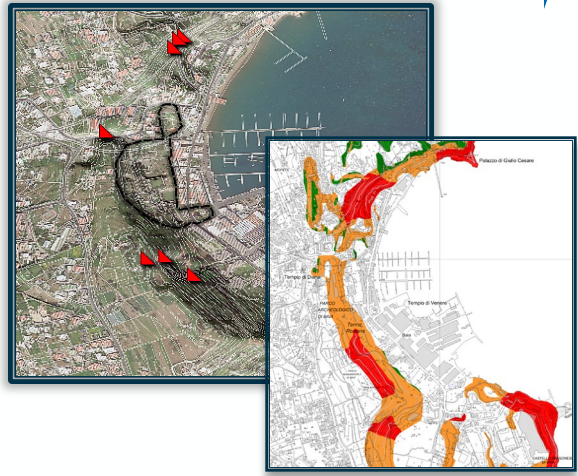
★ Ancient port of Classe in Ravenna city



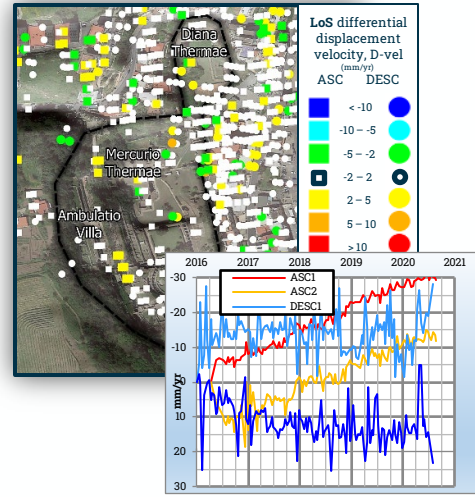
CH Background
(desk and field study):
investigating the origin,
typology, construction
techniques, restoration
history, evolution in time, etc.



**Geohazard
assessment**
Hazard and risk map
analysis



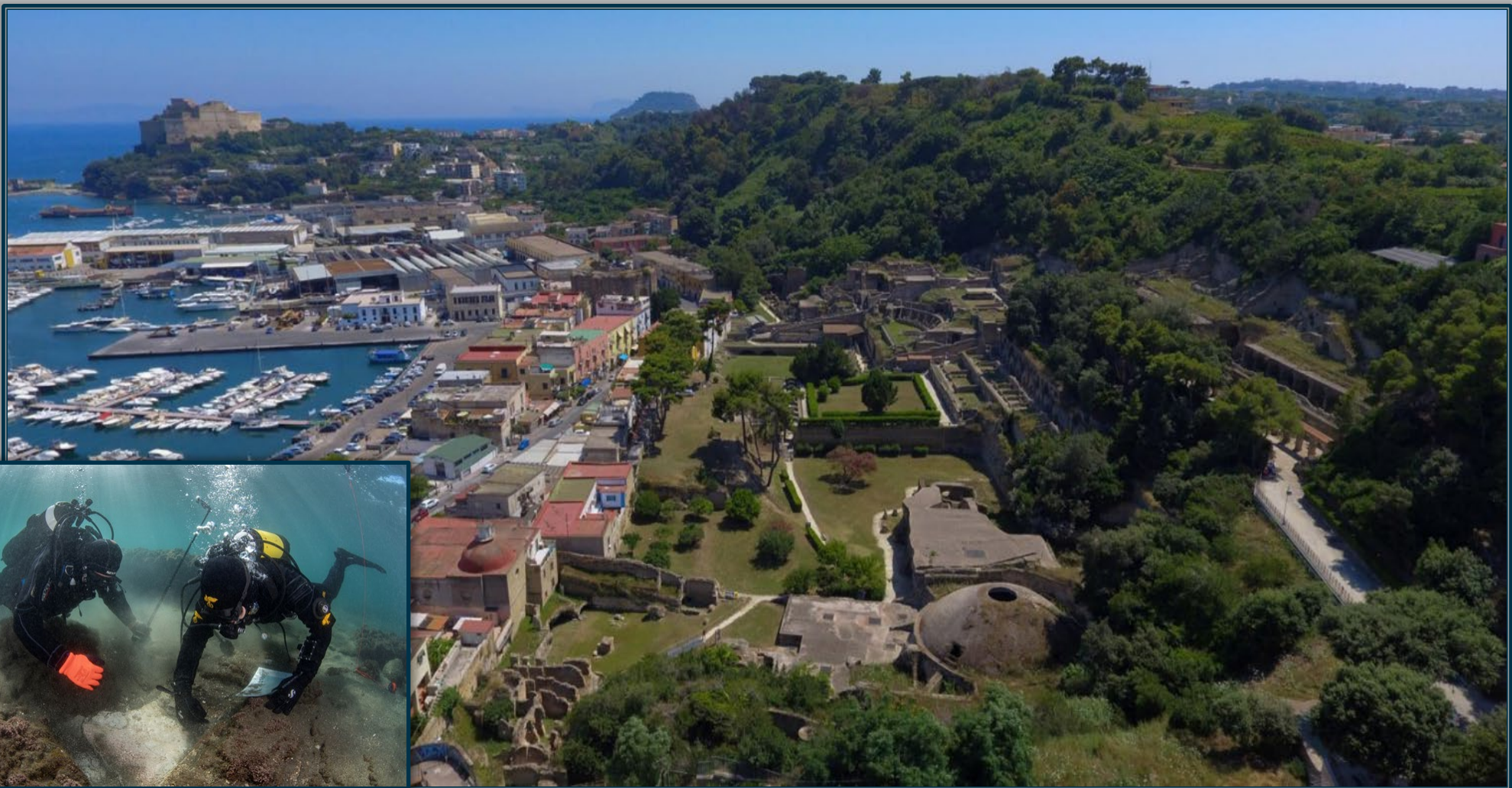
SAR Interferometry
Data integration and
services



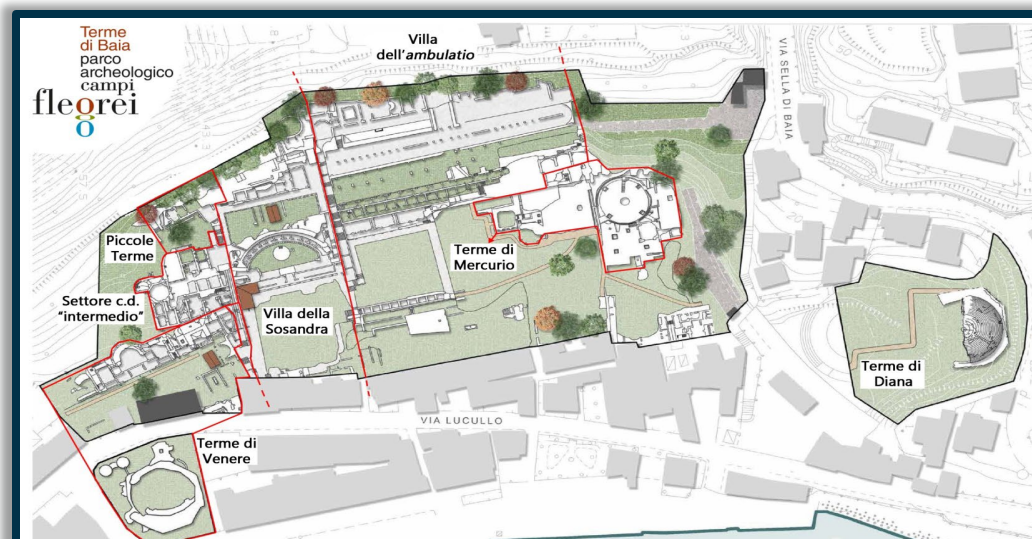
**Ground motion
monitoring**
Field survey and risk
mitigation plan



Phlegrean Fields Archaeological Park: general setting



The Roman Thermae of Baia: site map

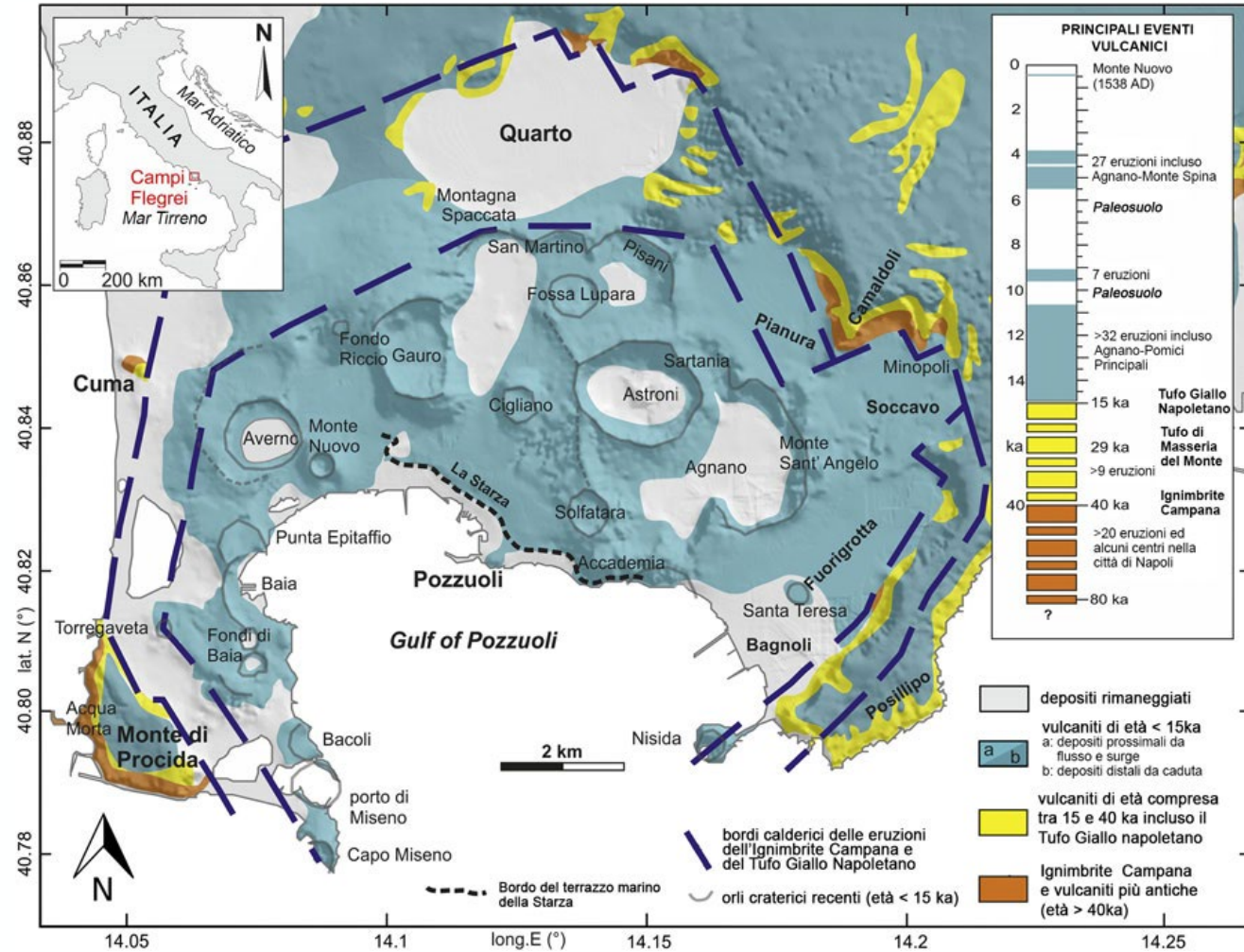


Geohazard assesment: geological and geomorphological setting



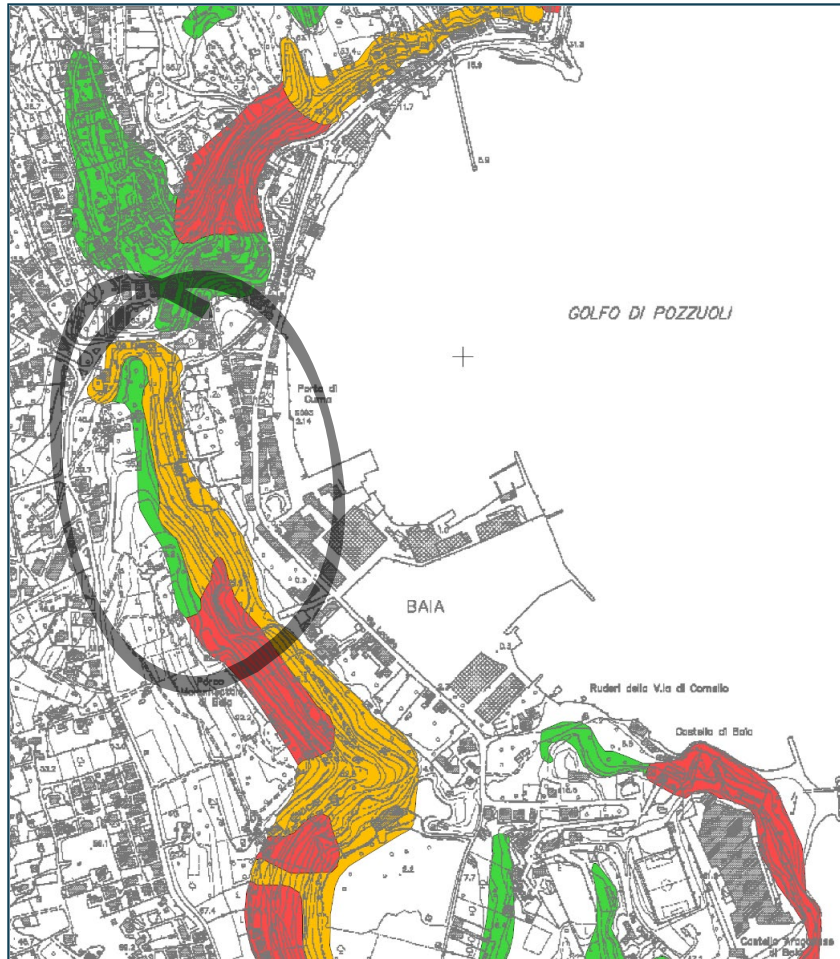
➤ volcanic-related subsidence with unrest cycles characterised by intense ground uplift and lowering

Surge deposits
Piroclastic deposits
Volcanic breccia

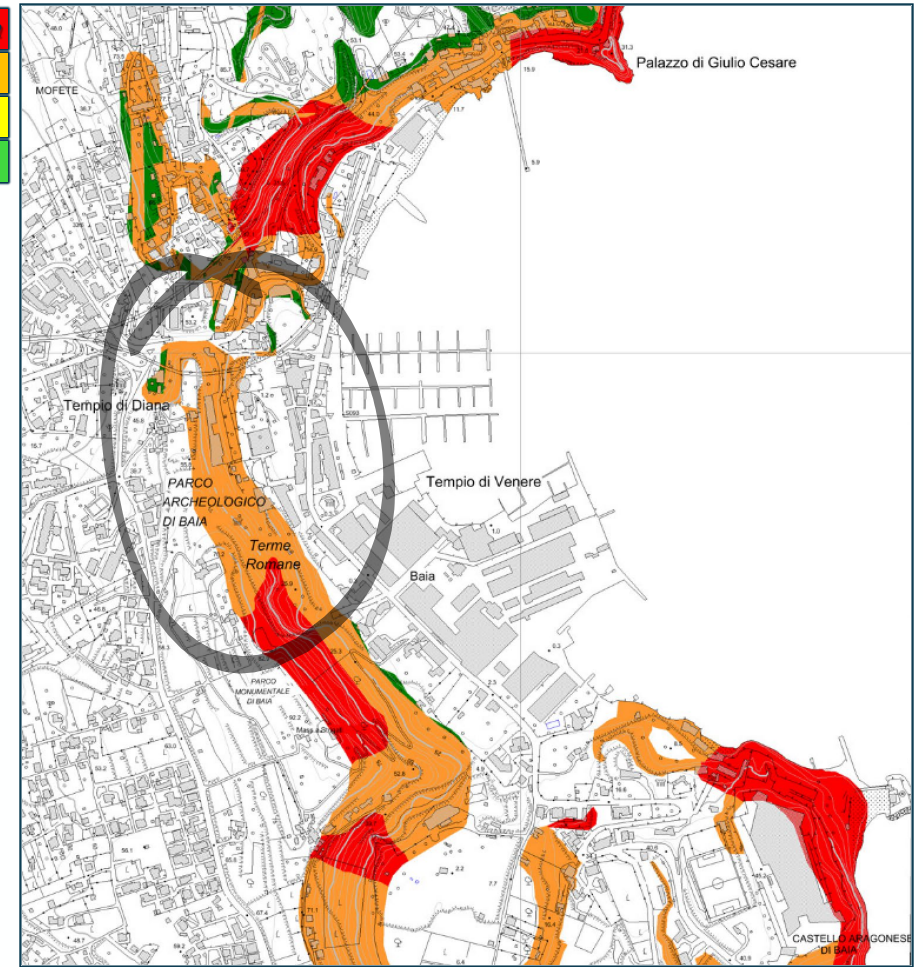


Local
planning
authority
hazard and
risk
assessment

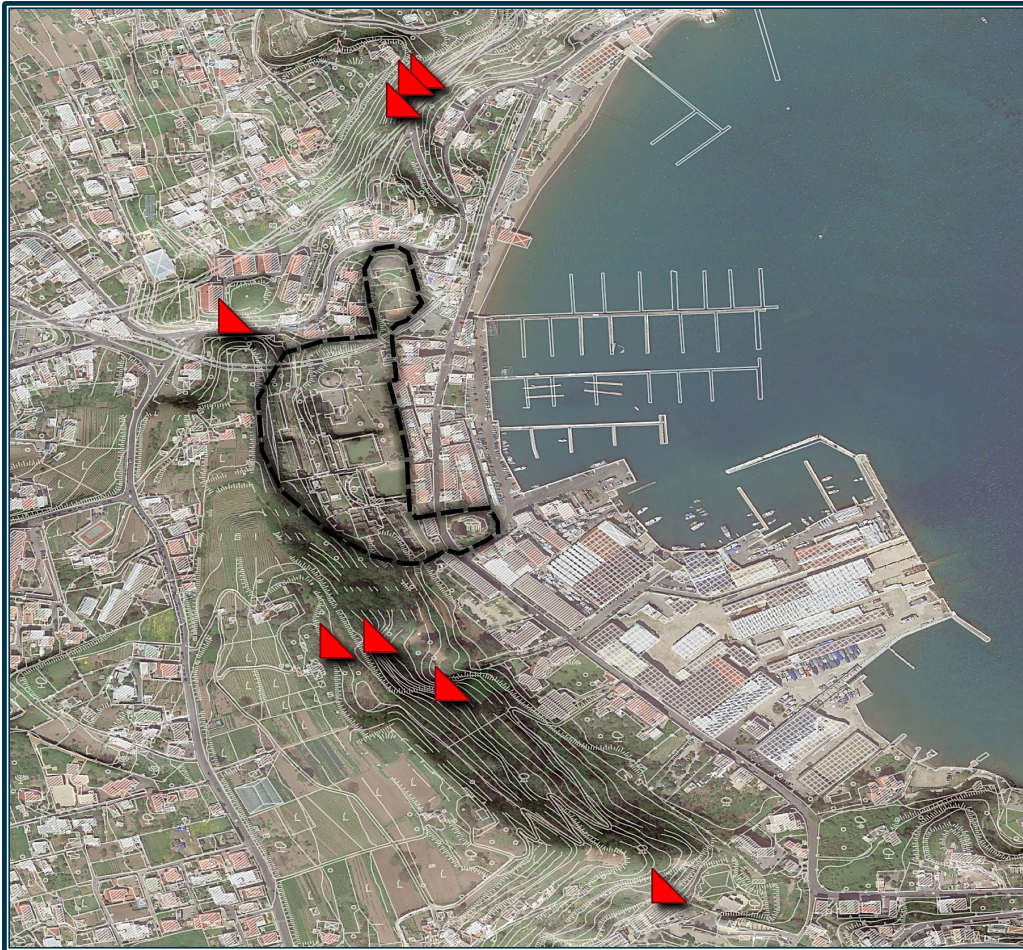
Landslide susceptibility



Landslide risk

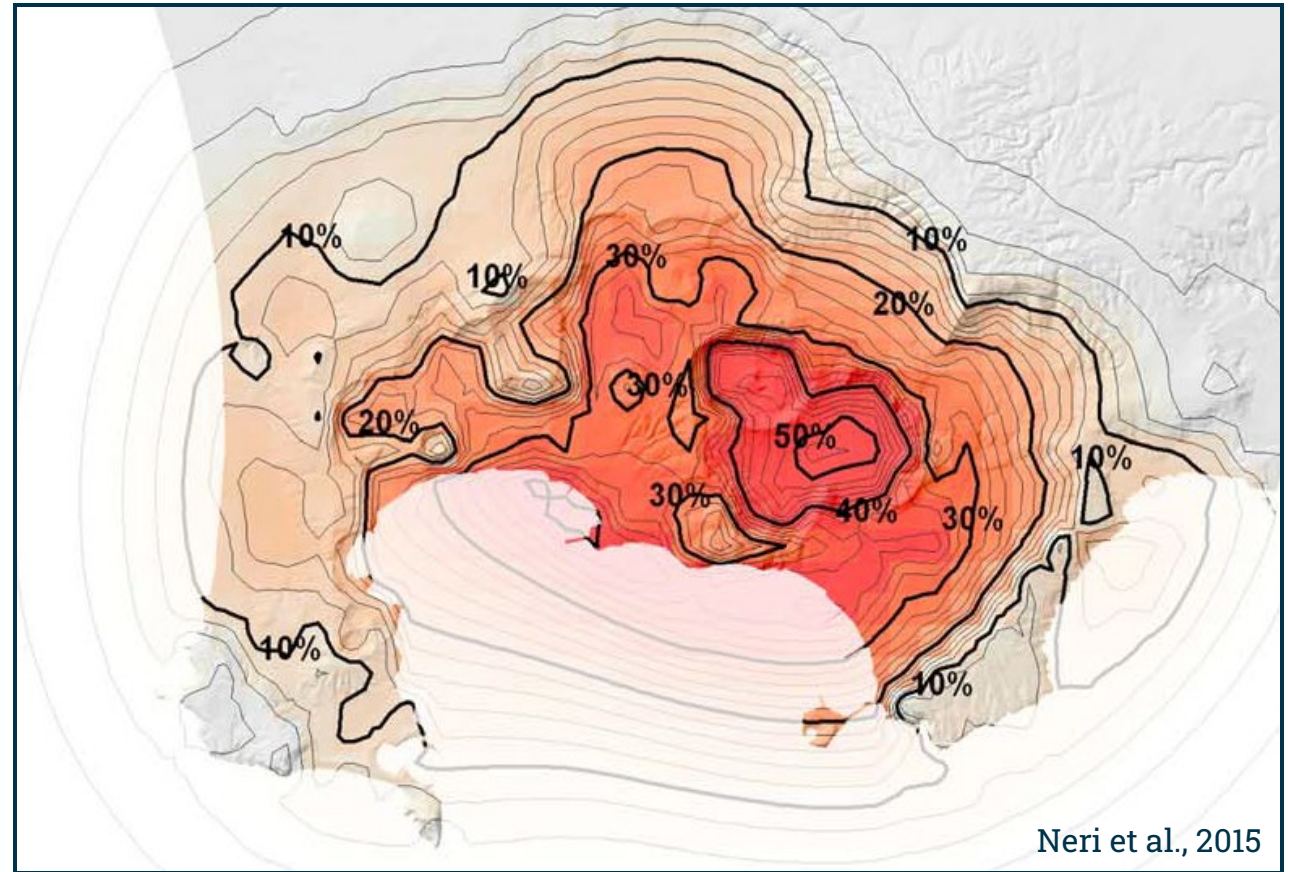
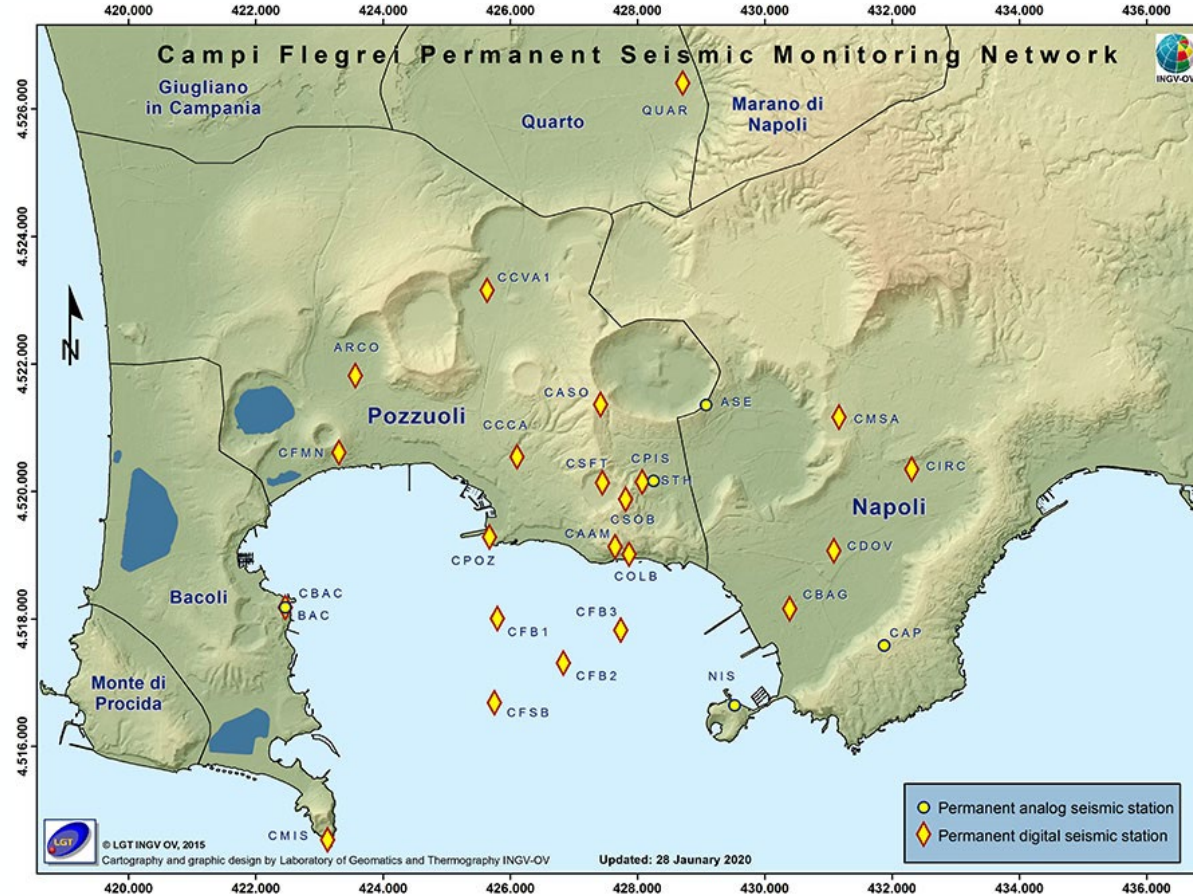


Landslide inventory



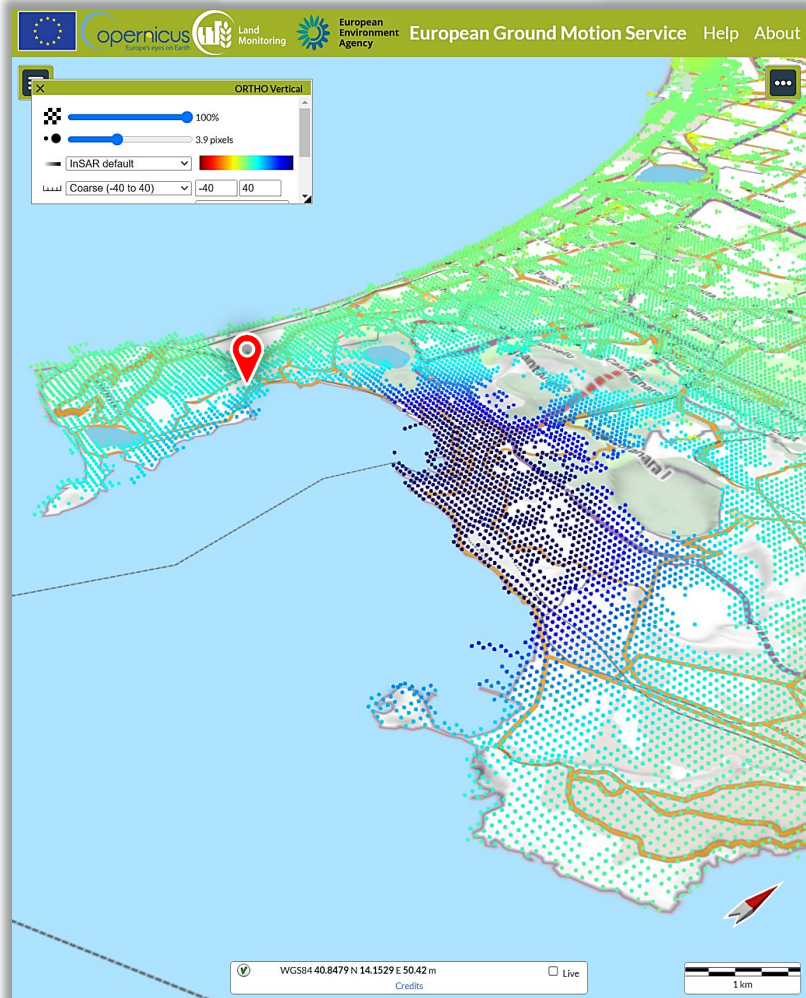
Permanent Seismic Monitoring Network

Pyroclastic Density Currents (PDC) invasion probability maps

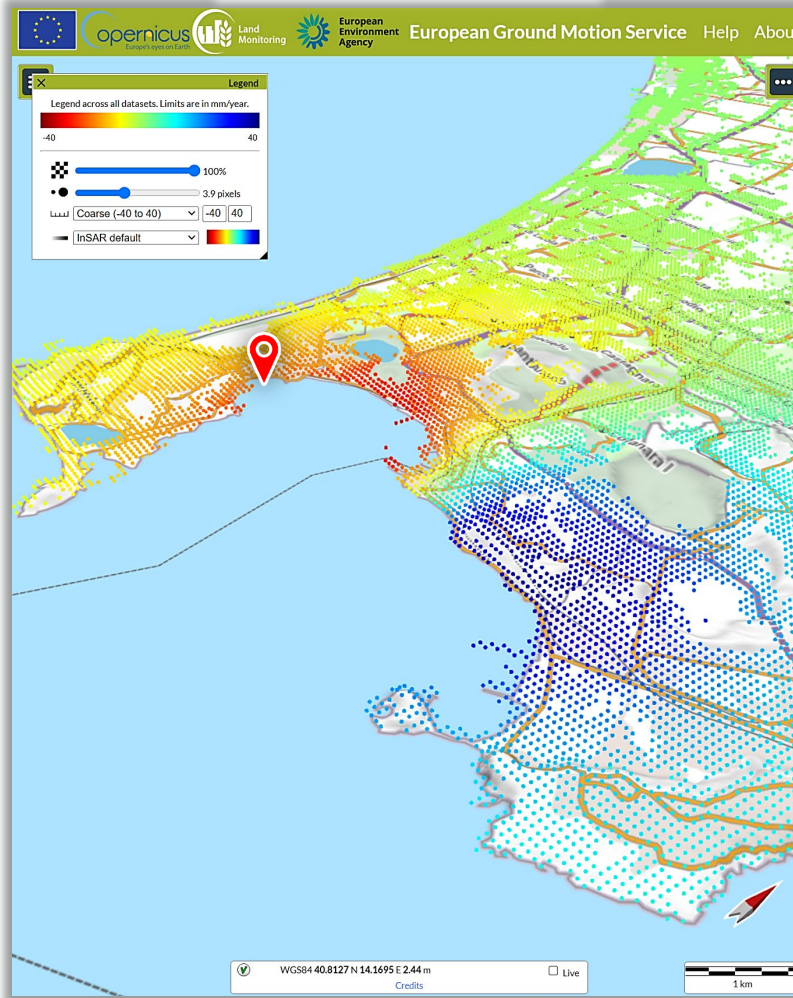


PS InSAR analysis - EGMS (ORTHO level) 2015-2020

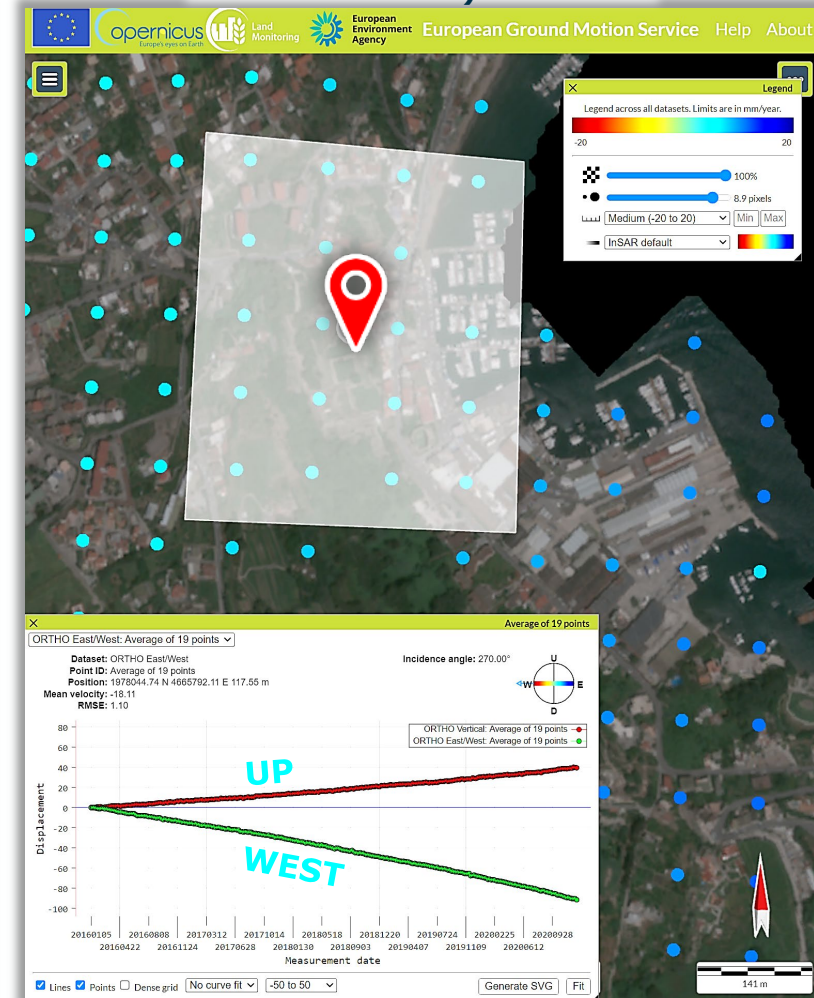
vertical (up)



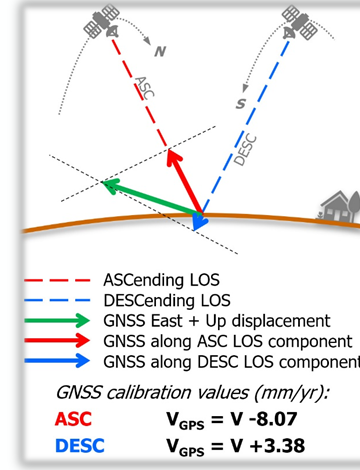
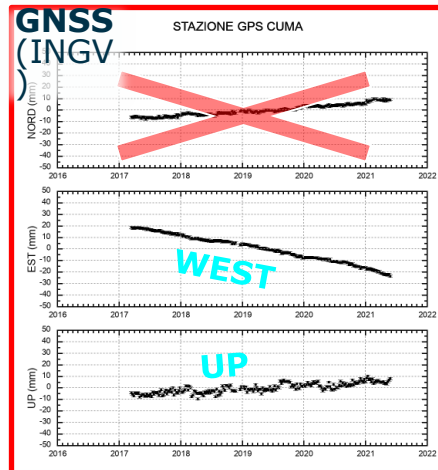
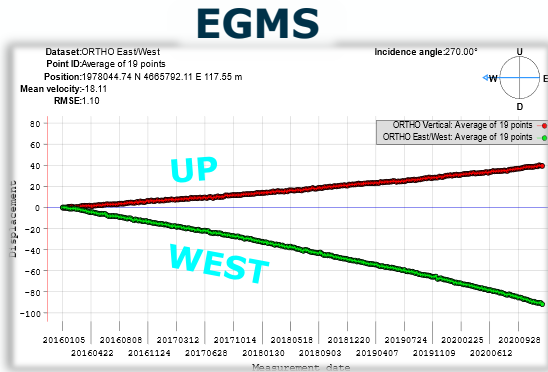
horizontal (E-W)



site analysis, 19 PS (time series)



PS InSAR analysis- ISPRA Campi Flegrei



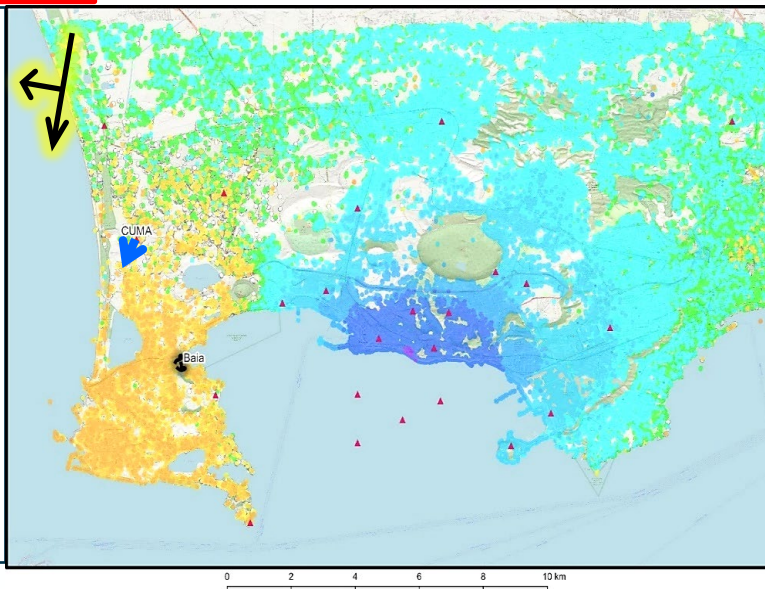
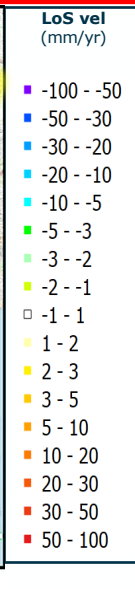
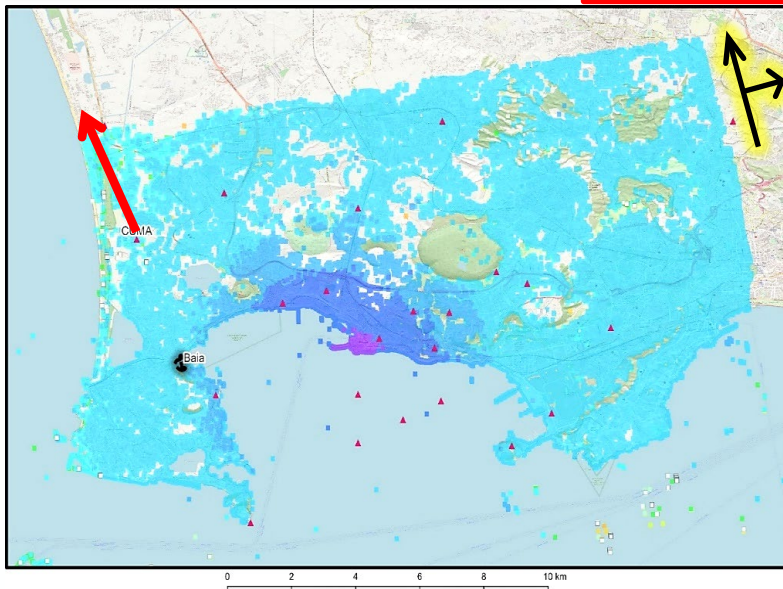
The Cuma GPS station, belonging to the GNSS monitoring network of the Vesuvius Observatory (INGV), is the nearest of those outside the Campi Flegrei volcanic area.

The N-S component of the displacement is not detected by the InSAR technique.

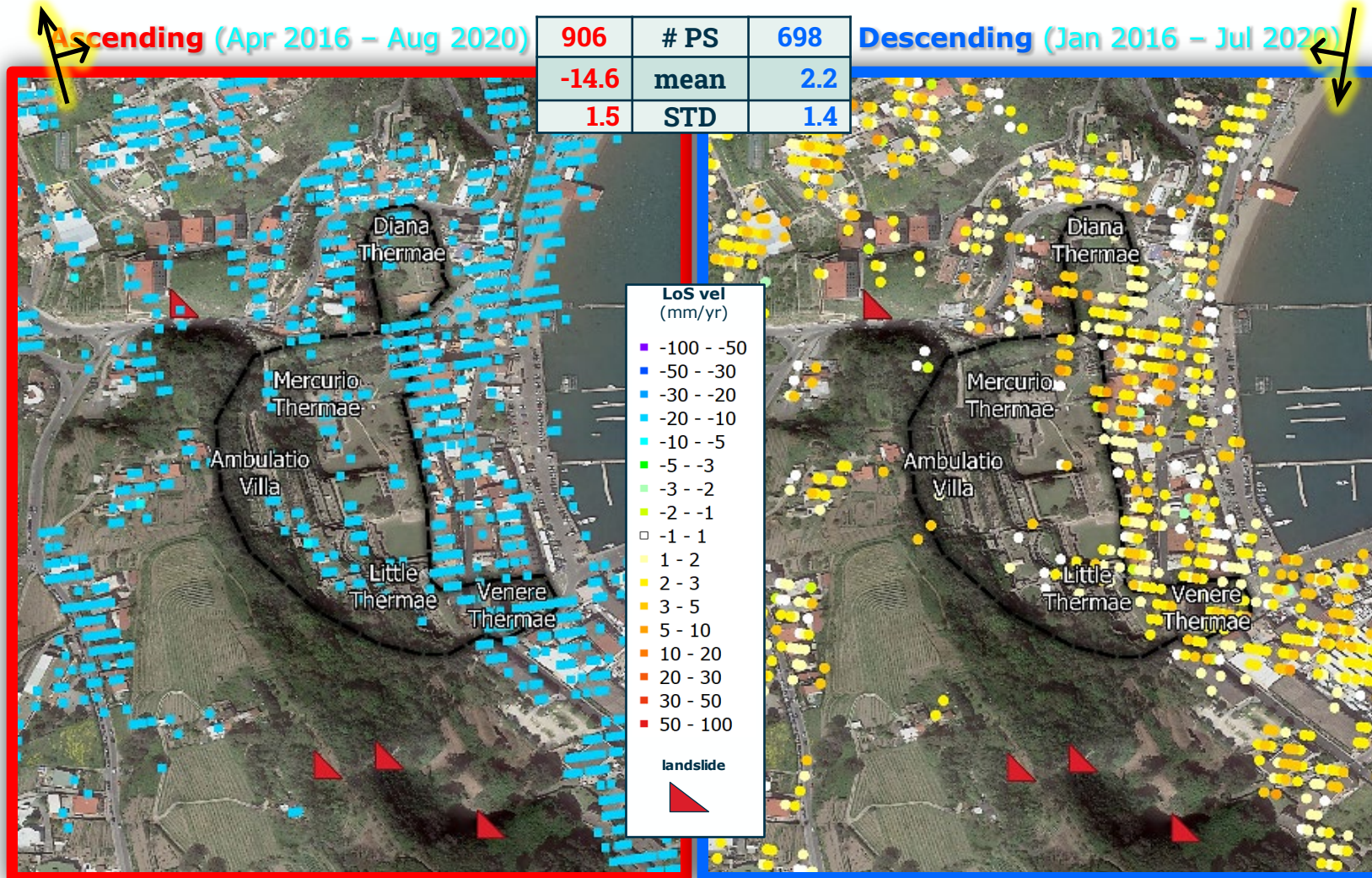
The LoS displacement is calibrated with respect to the regional displacement trend.

ISPRA and INGV have developed a PS InSAR product calibrated with the GNSS data, in ascending and descending geometry, showing displacements along the respective LoS.

This product is an equivalent of the EGMS Level 2b.



Ground Motion: PS InSAR data interpretation



Due to the PS coverage, for each acquisition geometry, the interpretation of PS InSAR data at the site scale requires the highest resolution available.

The horizontal displacements component is highlighted through the comparison between PS measured from two opposite viewpoints, as is the case for slope movements.

In this case, the **ascending** geometry is more affected by the northwestward displacement of the area, with average "uplift" values of about 15 mm/year.

On the other hand, localized differential displacements are more evident with **descending** geometry.

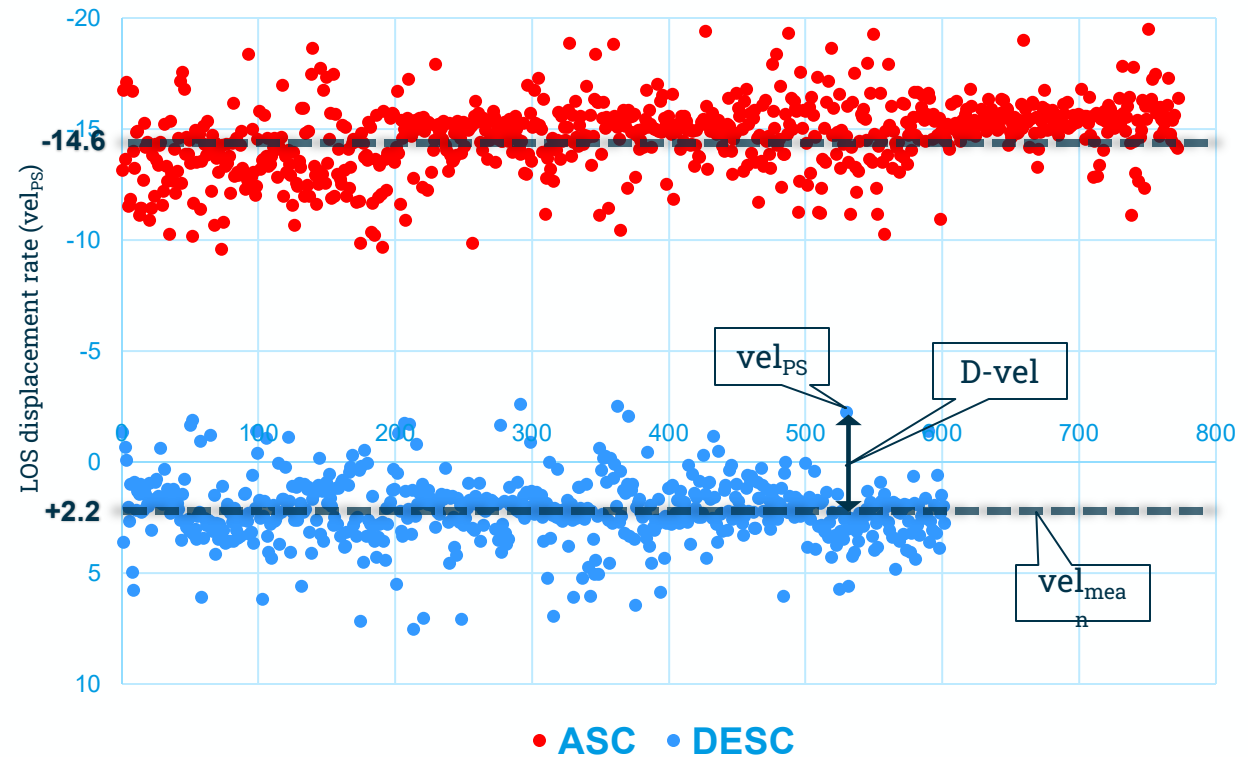
Differential displacement

The area is subject to high rates, more evident with the ASCending geometry.

Therefore, to highlight differential ground motions at the site scale, the difference between the displacement velocity of each measurement point (PS) and the site mean value was calculated.

$$D\text{-vel} = \text{vel}_{\text{PS}} - \text{vel}_{\text{mean}}$$

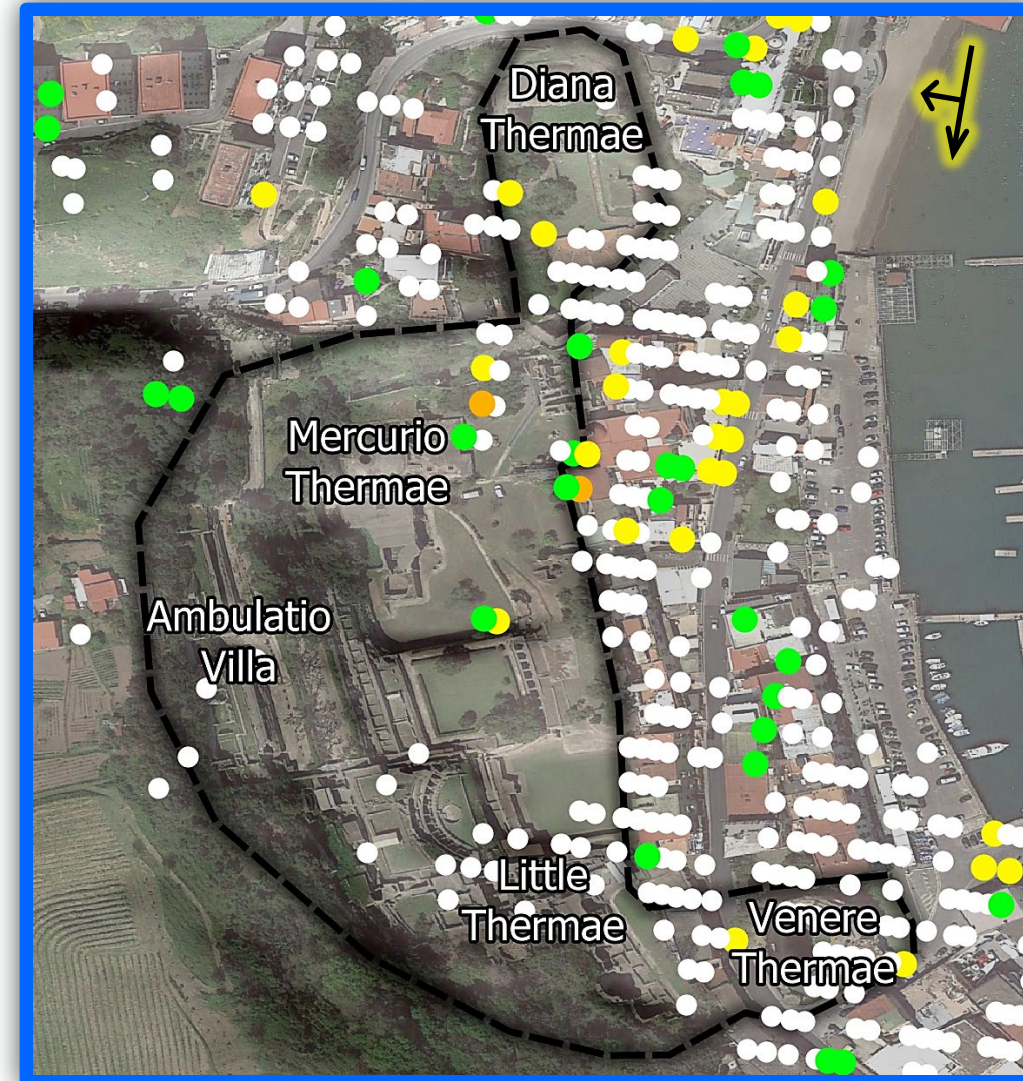
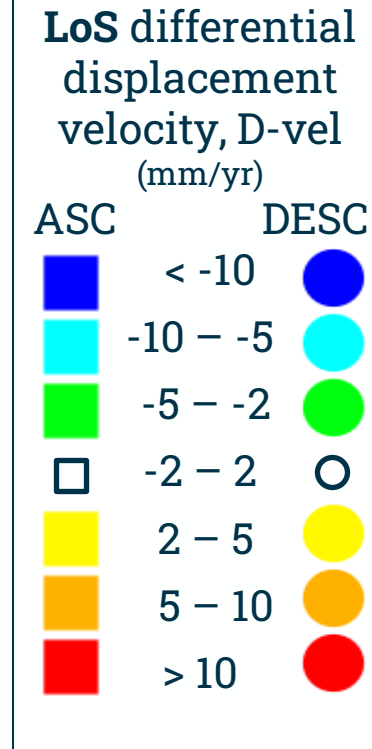
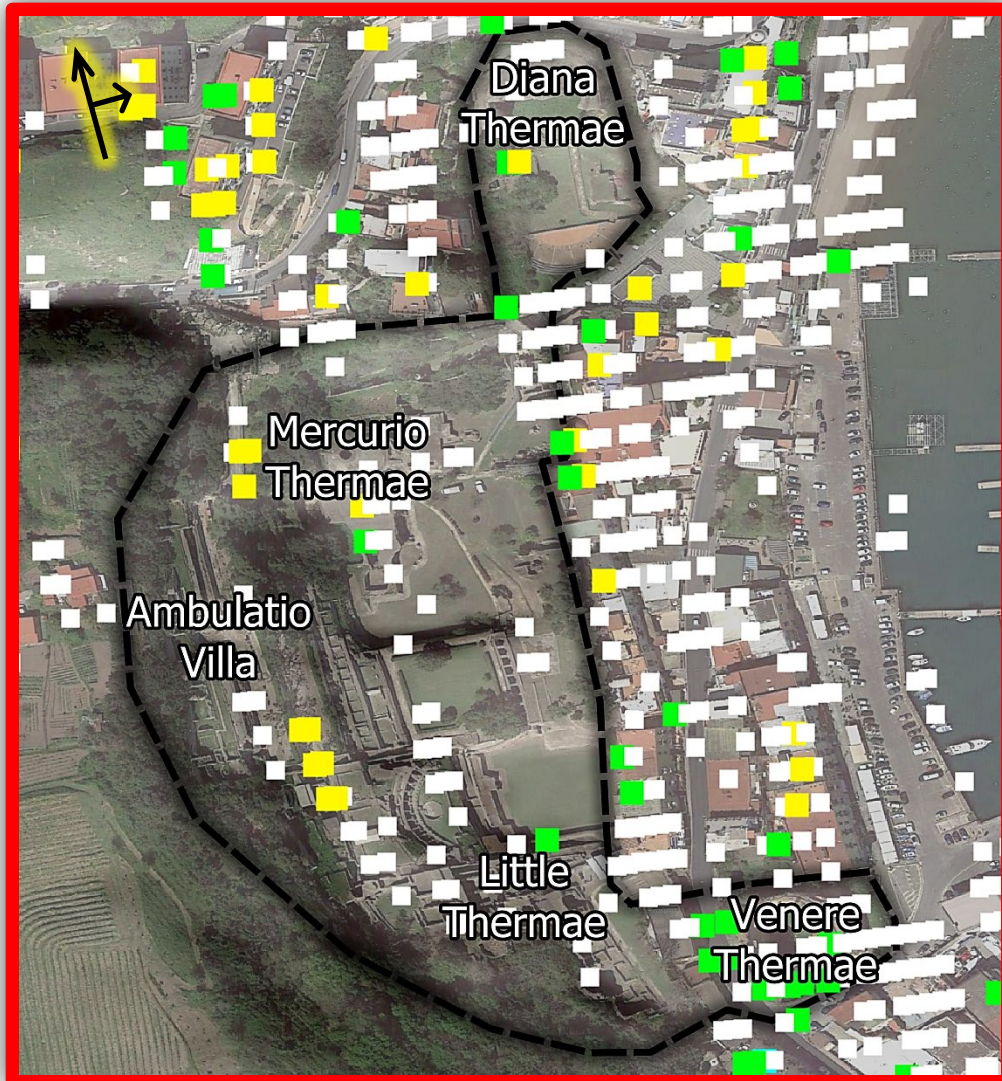
| ASC | mean D-vel | DESC |
|-------|------------|------|
| -14.6 | mm/yr | 2.2 |



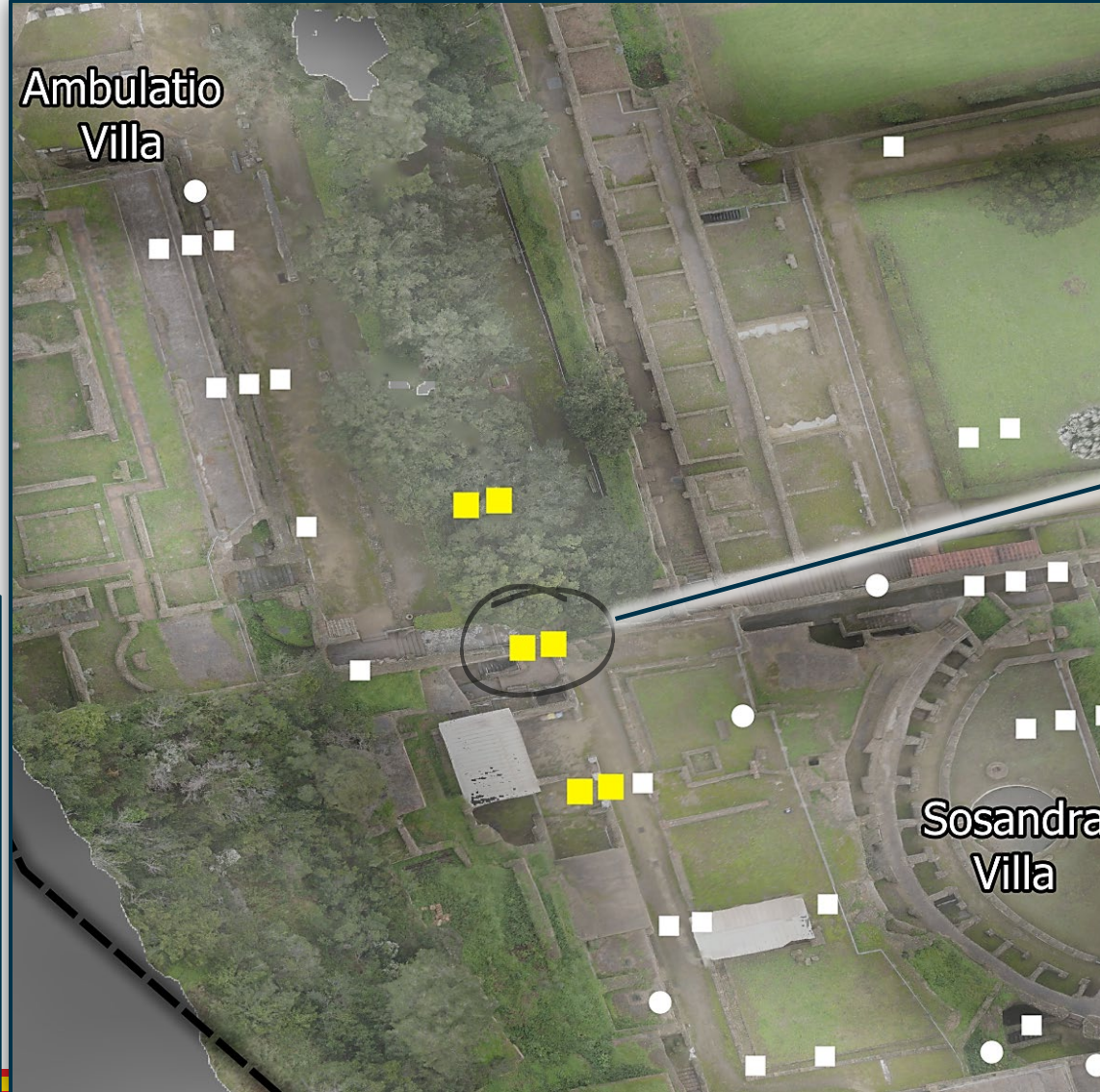
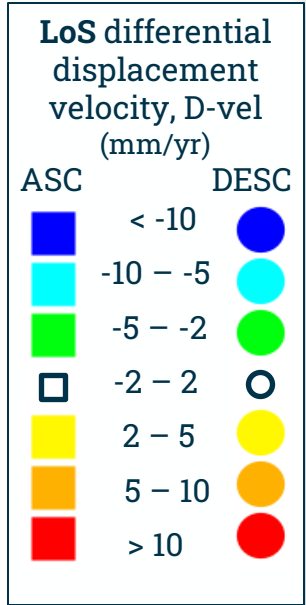
Differential displacement (D-vel)

Ascending (Apr 2016 – Aug 2020)

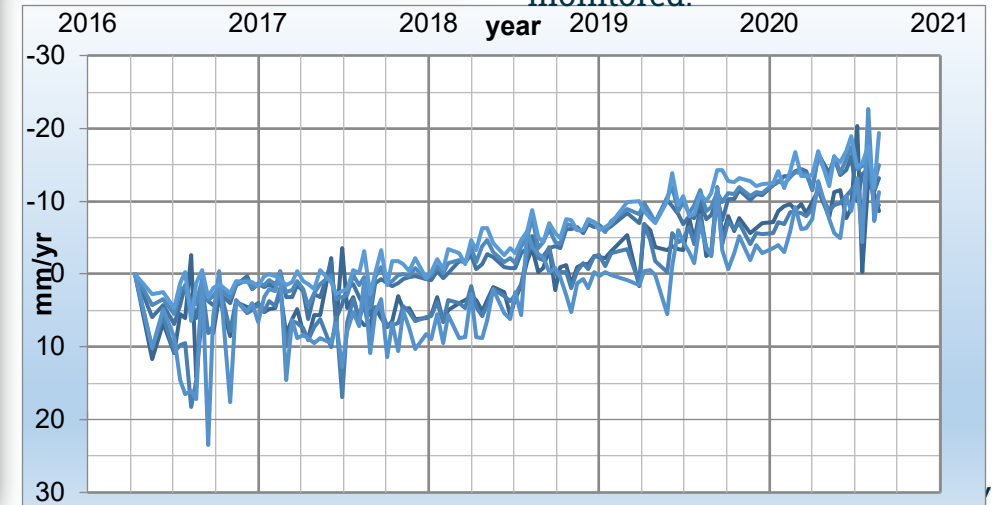
Descending (Jan 2016 – Jul 2020)



PSI data interpretation: upper terrace example

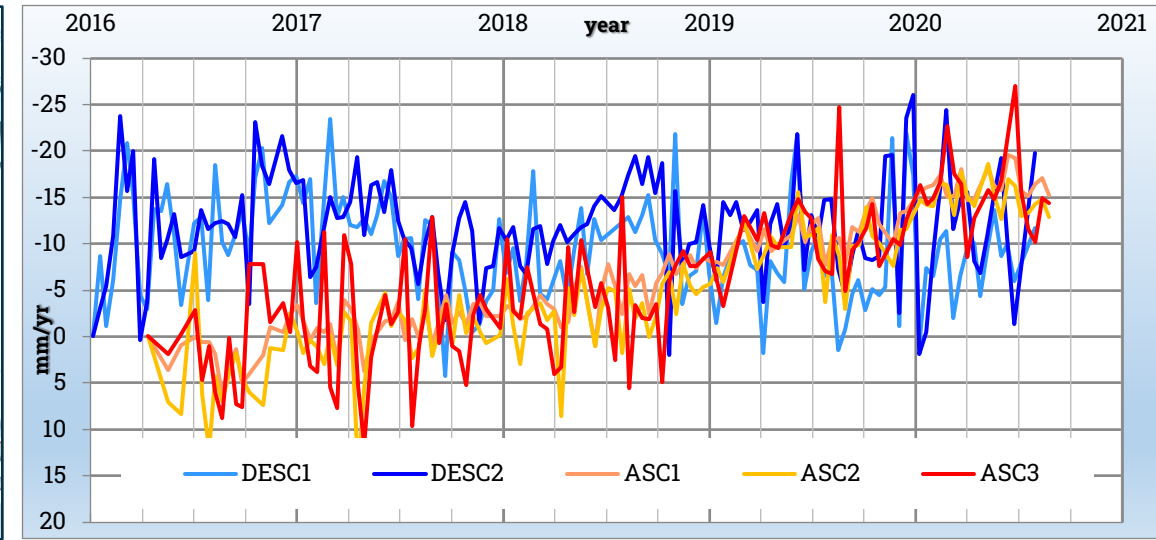
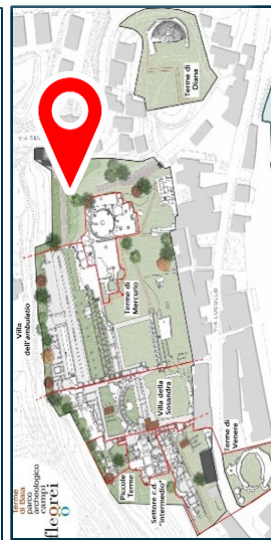
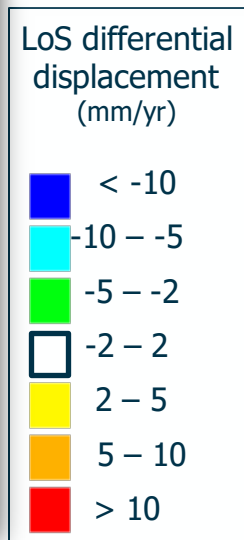
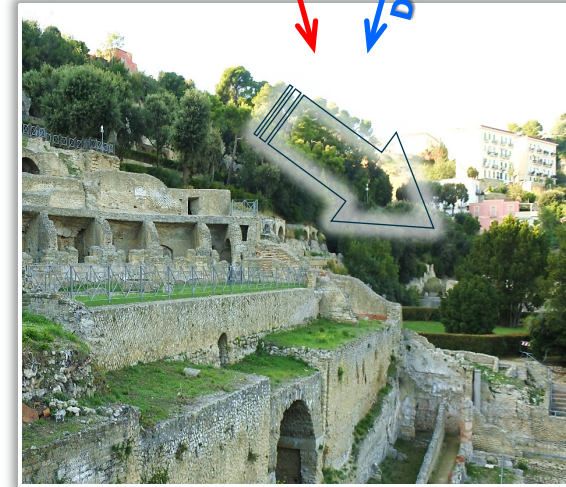


Ascending geometry seems to be more sensitive to radar targets in the site area; this is due mainly to "noise effect", then to East facing geometry of the slope too. At the edge between *Ambulatio* and *Sosandra* villas a cluster of 6 PSS indicates, consistently, a relatively subsiding area. The crack along the sidewall may indicate this masonry weakness, thus needs to be properly monitored.



Slope stability: PS InSAR analysis

The combined interpretation of the PS, moving away from the ASC satellite and approaching the DESC satellite, shows the prevalence of the horizontal movement of slow slope sliding eastward, i.e., seaward.

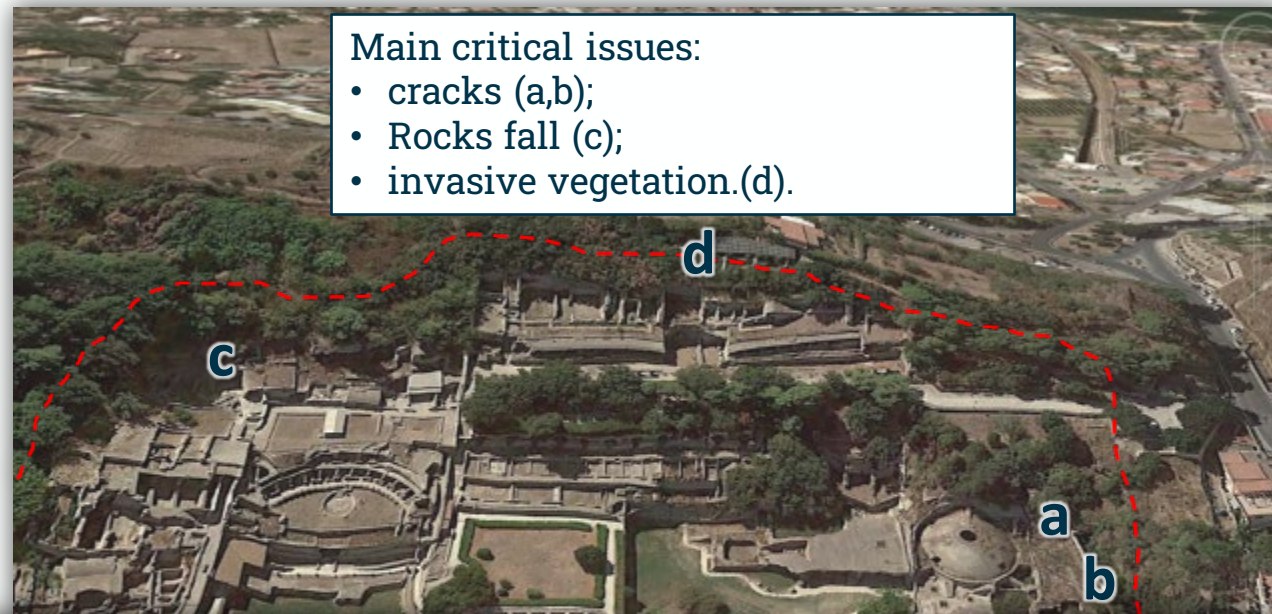




The analysis of the area and of the type of buildings helps in classifying main ruptures:

- cover detachment (1);
- wall cracks (2, 4);
- block fall (3);
- leaning walls, that need shoring (5).

Damage overview



Main critical issues:

- cracks (a,b);
- Rocks fall (c);
- invasive vegetation.(d).


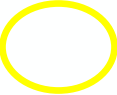
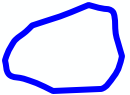


3D survey

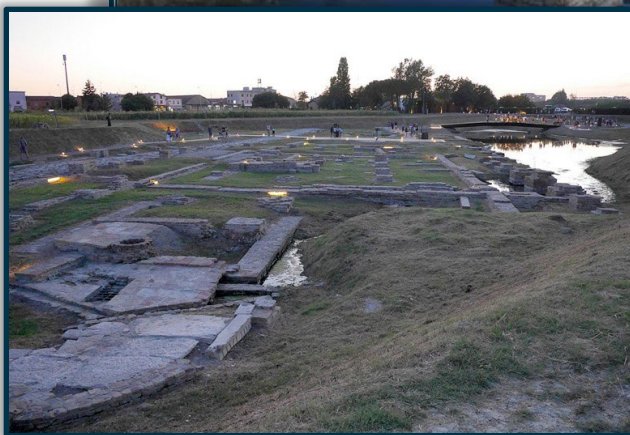
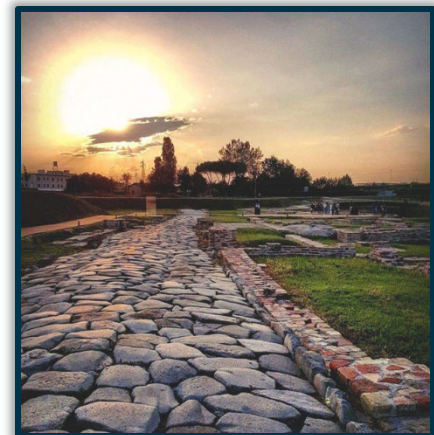


Image interpretation

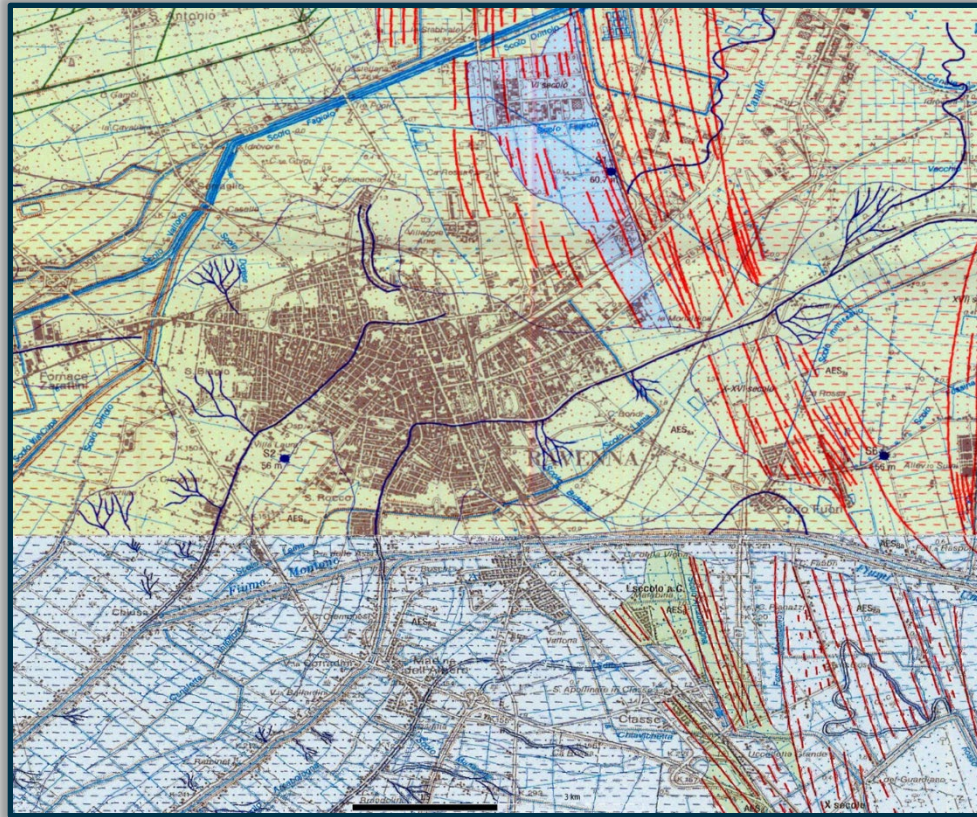


-  cracks V= vertical development; T= transversal to the slope ; O= subhorizontal
-  Wall structure blocks (recent collapse)
-  Soil creep

Classe Port, Classe Archaeological Park: general setting



Geohazard assesment: geological and geomorphological setting



SISTEMA EMILIANO-ROMAGNOLO SUPERIORE

In affioramento coincide con l'unità AES₁ a cui si rimanda per la descrizione. Nel sottosuolo è costituito da una successione di cicli trasgressivo-regressivi formati da argille organiche, limi, sabbie e ghiaie di ambiente alluvionale e subordinatamente di ambiente deltico e litorale.

Il limite inferiore non affiora. Nel sottosuolo è dato da una discordanza angolare con AEI. Sistema parzialmente suddiviso in subunitari (AES_{1a}, AES_{1b}, ed AES_{1c}) corrispondenti, ciascuno, ai cicli deposizionali successivi, ai cui affioramenti solo quello superiore (AES₁). Nel sottosuolo i subunitari sono limitati dai bruschi contatti tra i depositi trasgressivi marino-marginali e palustri su depositi regressivi di conoidi e di piana alluvionale. Nel sottosuolo della piana alluvionale sono inoltre presenti 2 cicli deposizionali inferiori che sono concordi in modo approssimativo e sono difficilmente correlabili coi depositi affioranti (anche dei fogli limitrofi). Pertanto non sono stati formalizzati separatamente come subunitari. Spessore massimo circa 300 m. **PLEISTOCENE MEDIO-OLOCENE.**

Subsistema di Ravenna

Subsistema sommitale del Sistema Emiliano-Romagnolo Superiore. In affioramento: argille, limi ed alternanze lineari sciolite di piana inondabile, argine, canale e rotta, bruni e giallastri di piana alluvionale drenata con suoli al tetto. Limite superiore coincidente con il piano topografico, dato da suoli variabili da non calcareo a calcareo. I suoli non calcareo e scarsamente calcareo hanno, al tetto, colore bruno scuro e bruno scuro giallastro (TDR, 2.5V), spessore dell'orizzonte discarbonatato da 0.5 ad 1 m e contengono reperti archeologici di età dal Neolitico al Romano. I suoli calcareo appartengono all'unità AES_{2a}. Limite inferiore non affiorante.

Nel sottosuolo: depositi appartenenti ad un corso trasgressivo-regressivo che si apre verso NE, costituito da depositi di piana alluvionale (presenti nell'intero Foglio), canali, litorali e, localmente, marini (limitatamente allo spoglio di NE). I depositi di piana alluvionale includono localmente sabbie di canale fluviale a geometria trasversale e più diffusamente alternanze di sabbie e limi di argine e limi ed argille di piana inondabile. I depositi deltici e litorali includono un esteso cuneo di argille limose organiche palustri-lagunari passanti verso E e NE a sabbie di cordone e fronte daltica.

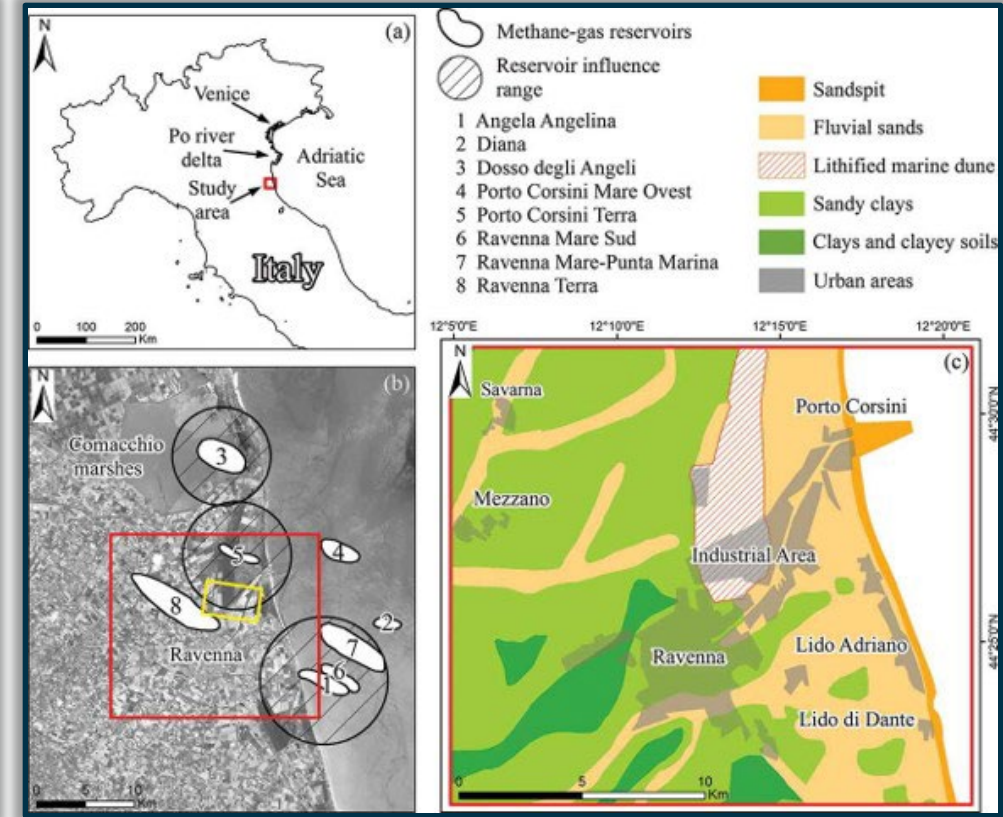
Limite inferiore sceso dato dal contatto netto tra i depositi fini, scuri, di piana non drenata, paludosa, lagunari e barenieri trasgressiva, alla base dell'unità, con i depositi grossolani di canale e argine fluviale al tetto di AES₂. Subsistema contenente un'unità di rango gerarchico inferiore (AES_{2b}) che, dove presente, ne costituisce il tetto stratigrafico. Spessore massimo di 25 metri circa. **PLEISTOCENE SUP-OLOCENE** (p.a. 14.000 anni BP - attuale; datazione ¹⁴C ron. cal. e biostratigrafica).

Unità di Modena

Alternanze di sabbie, limi ed argille destrini in depositi di ambiente alluvionale prevalente (canale ed argine, piana inondabile) e di ambiente deltico succeduto (canale distribuito ad aree inter-distribuite). I depositi di canale e di argine sono concentrati lungo gli assi attuali del Fiume Silaro e Santarone, mentre i depositi fini di facimazione si sviluppano tra le aste fluviali e nel settore settentrionale. La distribuzione dei depositi testimonia l'estensione naturale dei corsi d'acqua in ambienti di "valli". Nel margine nord-orientale sono presenti i depositi deltici attribuiti al Po di Primaro.

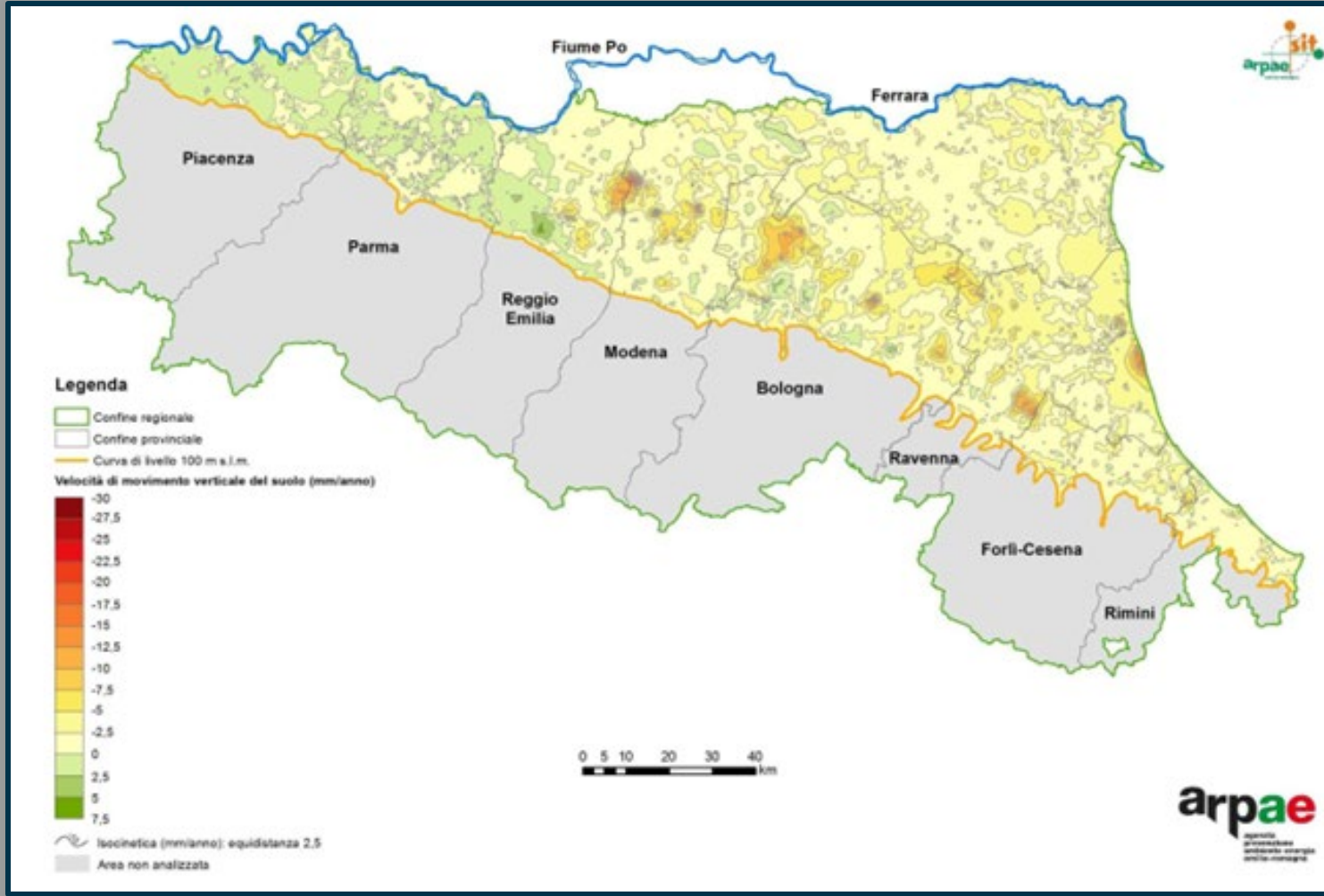
Limite superiore sempre affiorante e coincidente con il piano topografico dato da un suolo calcareo di colore bruno olivastro o bruno grigiastro (2.5V) al tetto, privo di reperti archeologici romani, o più antichi, non mangiati e caratterizzati da una buona preservazione delle forme deposizionali originali. Limite inferiore ben delineabile nei quartieri meridionali, così è dato dal contatto delle facimazioni fluviali sul suolo non calcareo (o scarsamente calcareo) di epoca romana.

Includi, concettualmente, i depositi fluviali in evoluzione b₁ che però, in accordo con la tradizione della cartografia geologica preesistente, sono stati cartografati separatamente. Spessore di pochi metri che, localmente, raggiunge 10 m. **ETÀ PMST-ROMANA (IV-VI sec. d.C. - Attuale; datazione archeologica e ¹⁴C).**



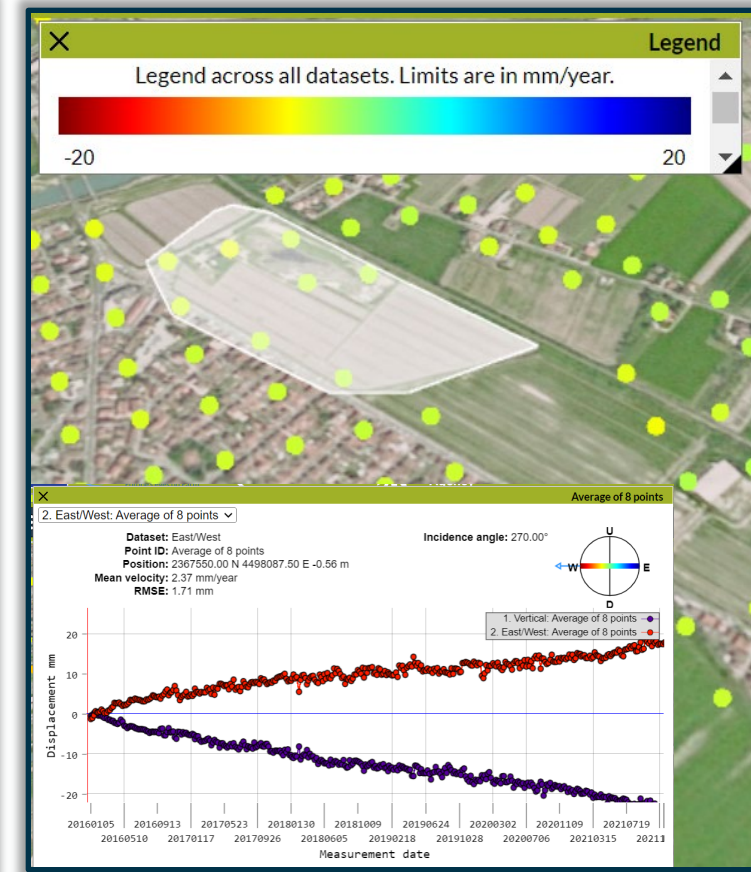
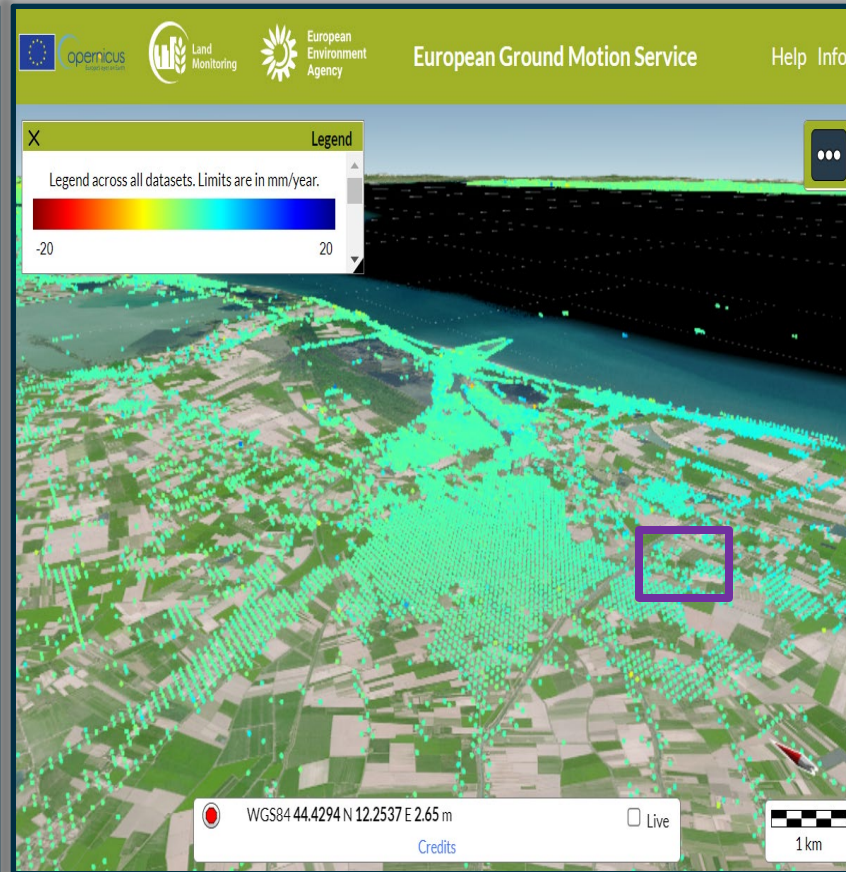
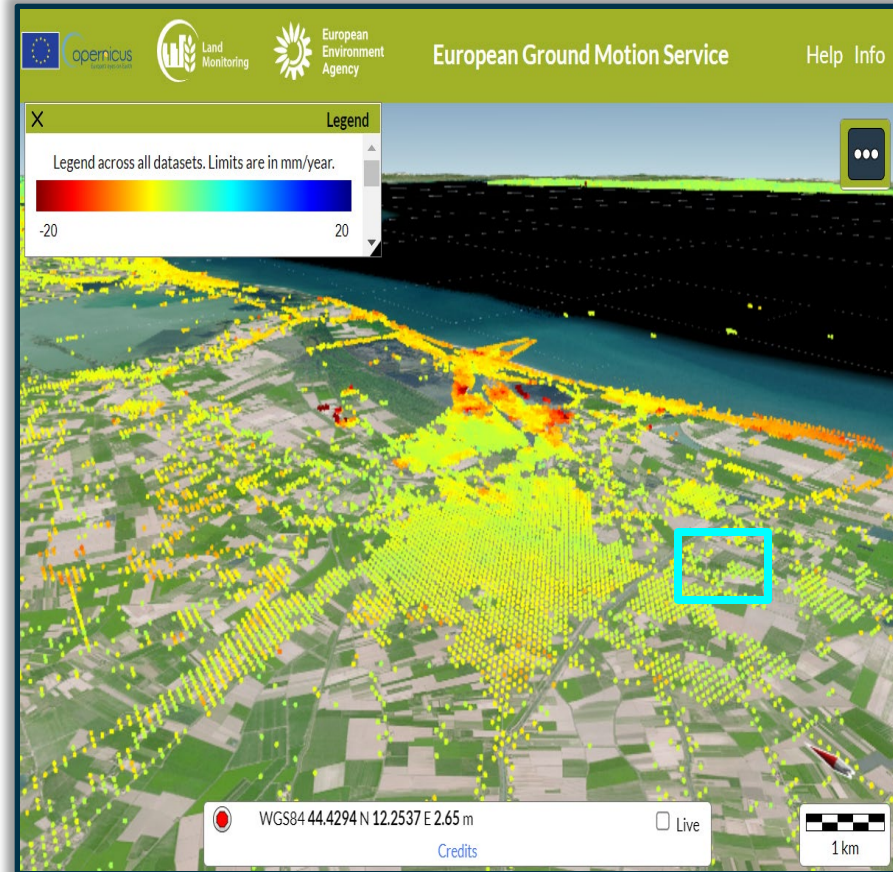
Litology: sequence of marine, delta, lagoon, marsh and alluvial deposits of Pliocene-Quaternary age;
Bedrock: complex fold structure;
Tectonic: Adriatic folds with axis parallel to the main Apennine structural lines (NW-SE).

Geohazard assesment: ground instability



- The Regional Agency for the Environmental Protection (ARPA) of Emilia-Romagna Region and the Emilia-Romagna Region (2010) estimate the overall contribution of the natural subsidence in -1.4 mm/year at Ravenna, -2.5 mm/year at Po river delta, and -1 mm/year at Venice.
- The present-day subsidence in the Po Plain is also given by the effects of the last deglaciation period that contributes with increasing values going from Venice (-1.1 mm/year) to Ravenna (-3.5 mm/year) (Carminati, Martinelli, and Severi 2003).

PS InSAR analysis - EGMS (ORTHO level) 2015-2021



PS InSAR analysis : FIASCHI et al 2017

Figure 5. Vertical displacement maps obtained from the processing of (a) ERS-1/2 (1992–2000), (b) ENVISAT 2003–2010, (c) TerraSAR-X (2012–2014), and (d) Sentinel-1A (2014–2016). The black dots, from P1 to P8, are the locations of the points considered for the time series analysis.

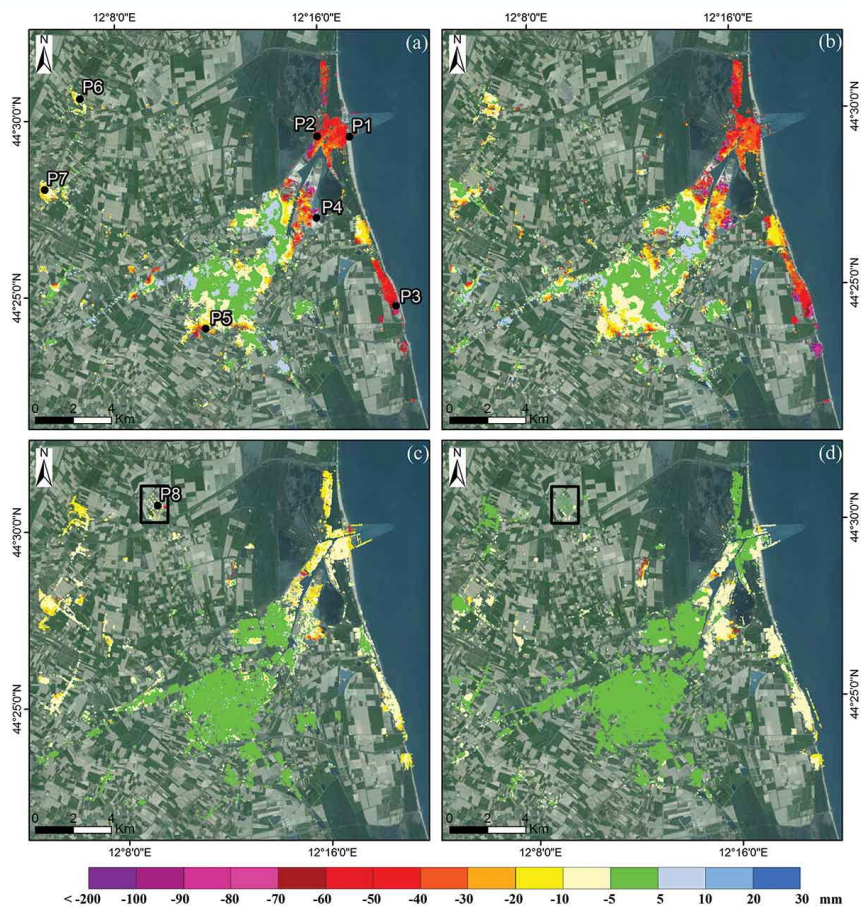
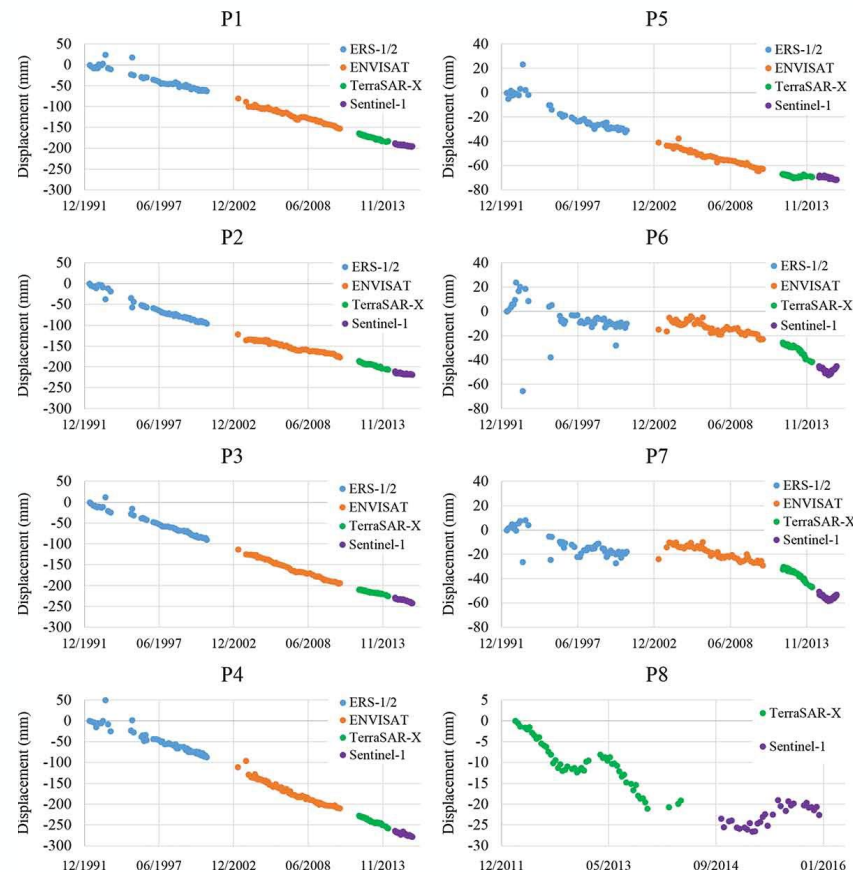


Figure 6. Cumulated displacement time series for the eight selected points reported in Figure 5 (a,c).

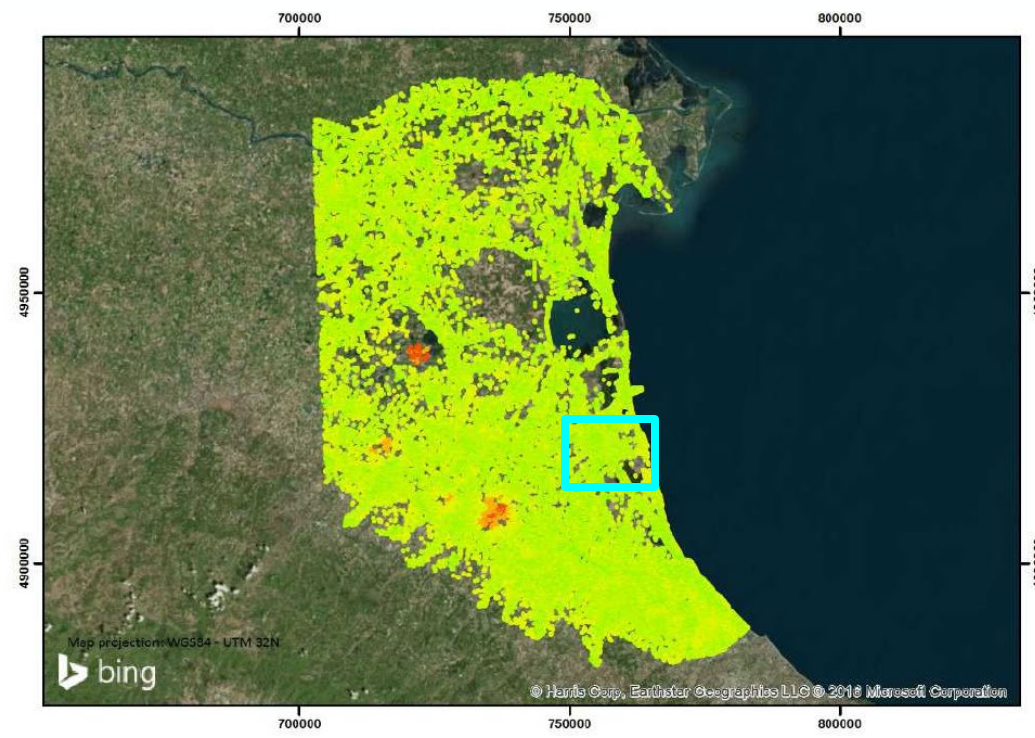
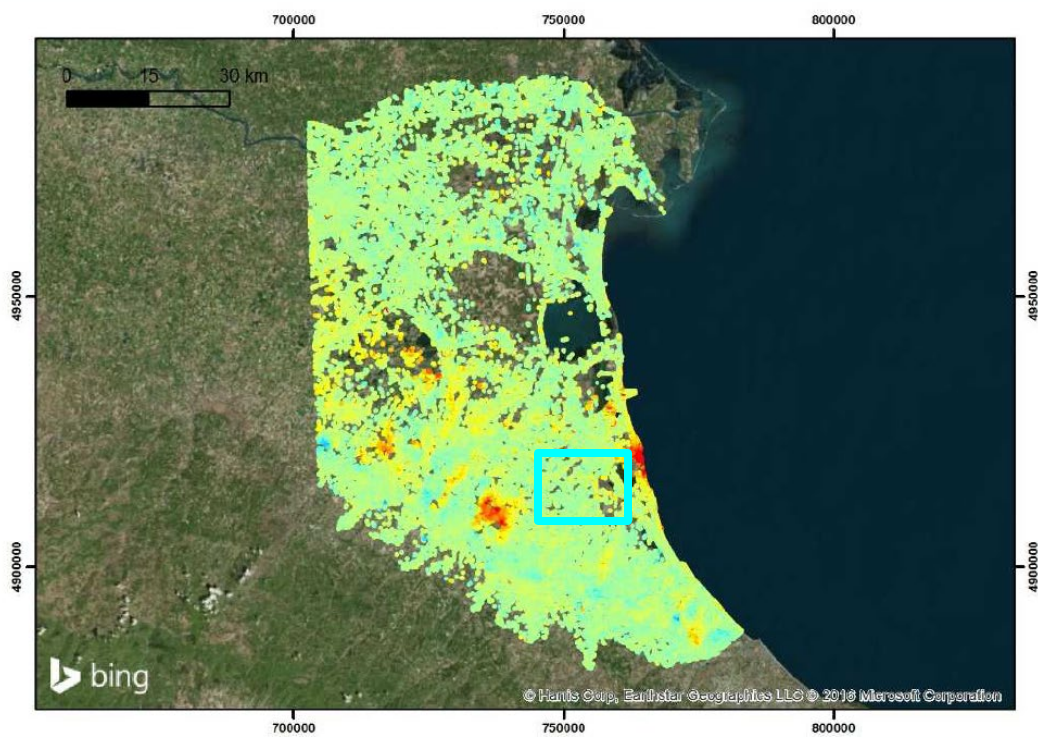


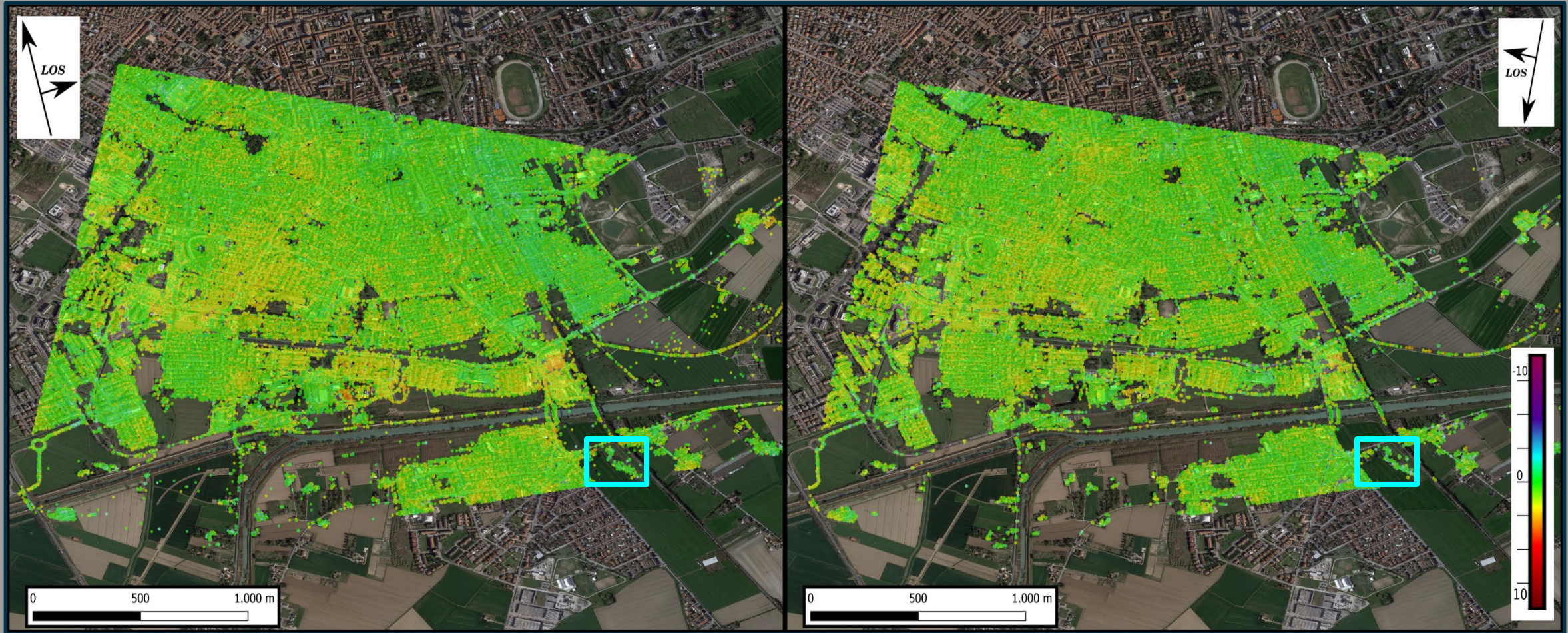
PS InSAR analysis : TRE PSInSAR + SqueeSAR

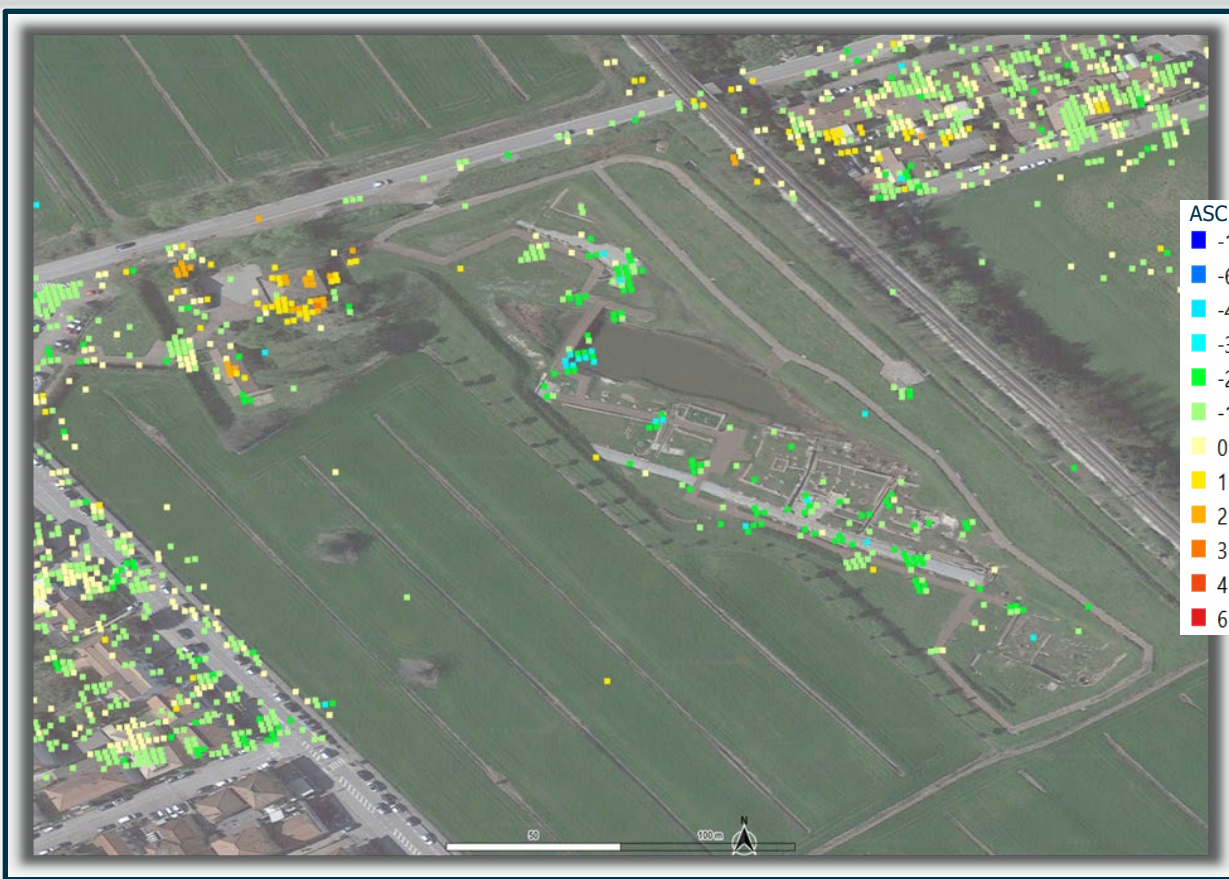
- Analysis: TRE PSInSAR+SqueeSAR
- SAR Images : RADARSAT1 e RADARSAT2 (SqueeSAR)
- Band: C
- Resolution: 5x20 m
- Time period: 05/2011 – 05/2016

RAVENNA

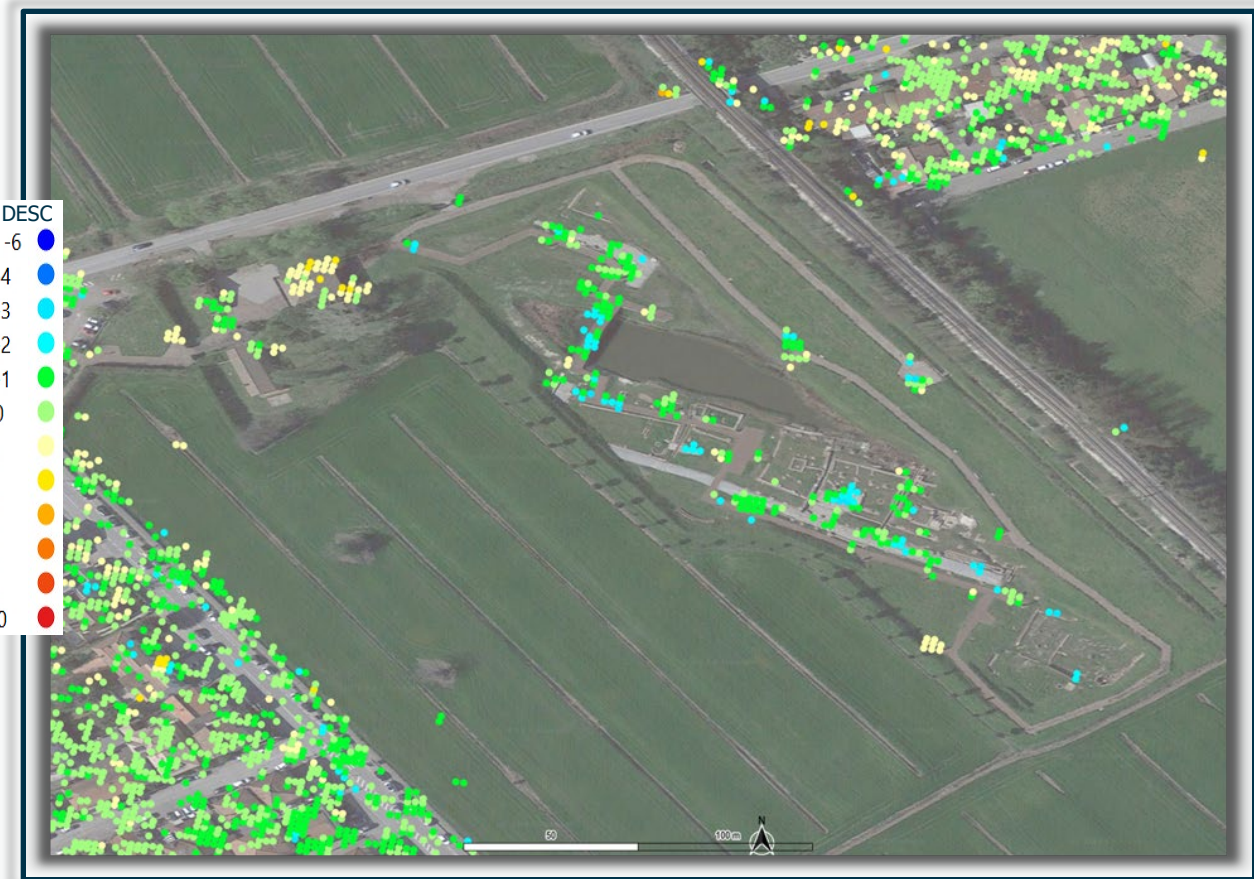
In the Ravenna site, 325,871 measurement points were identified, with an average density of 56 MP/Km2.



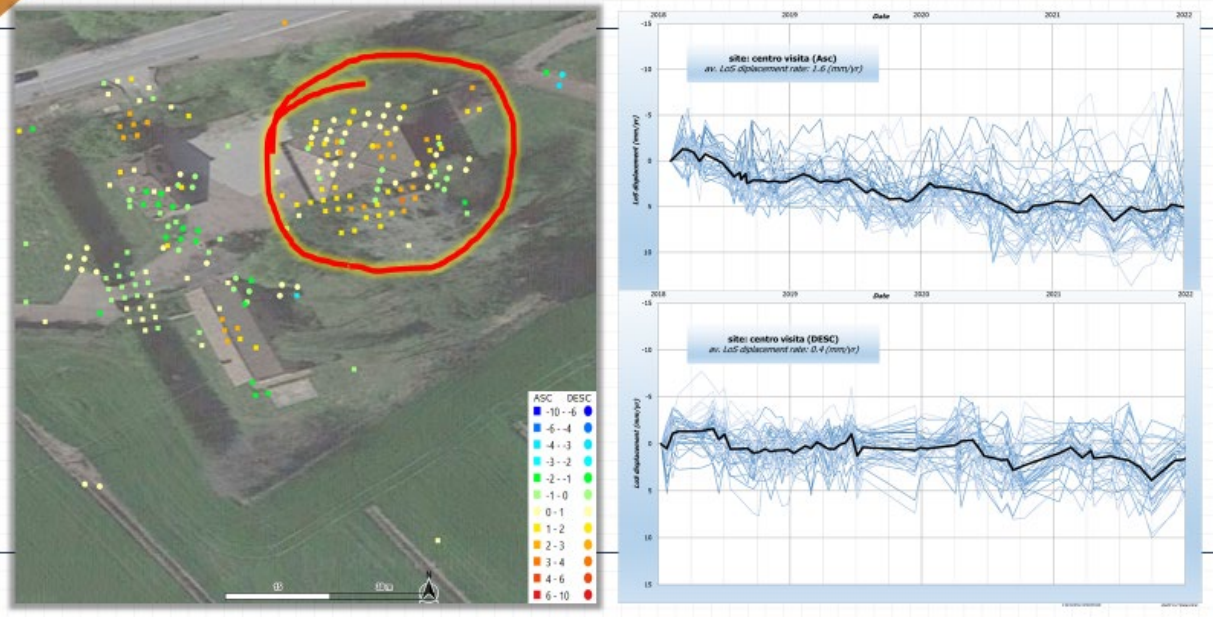




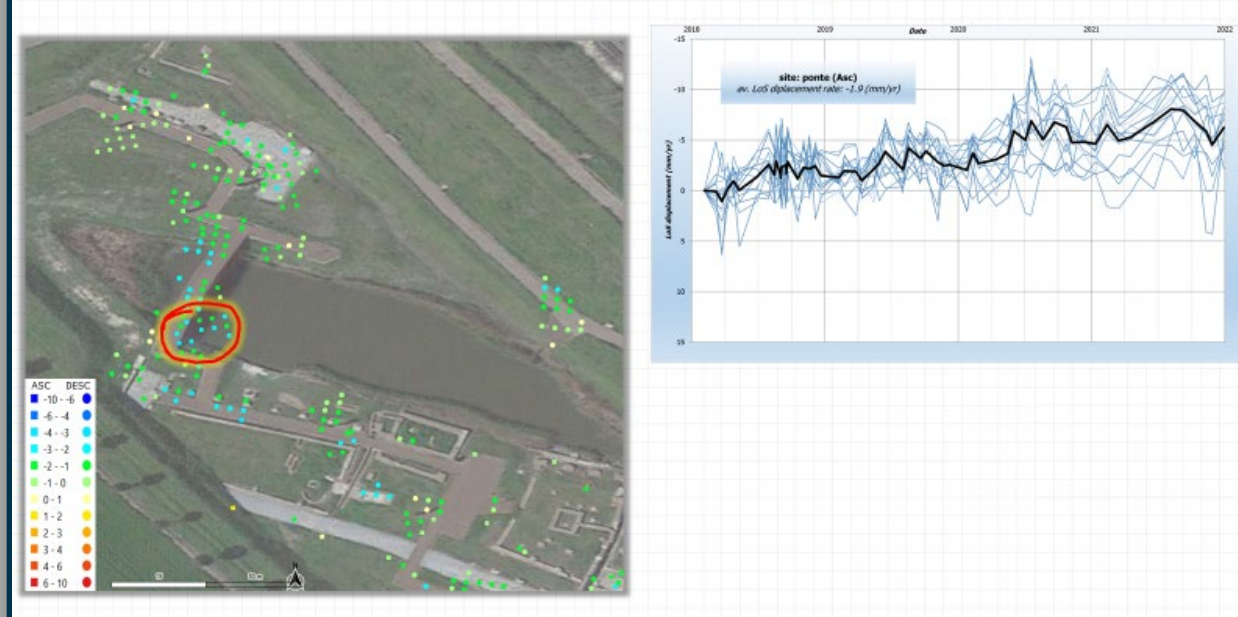
| ASC | DESC |
|----------|-------------|
| -10 - -6 | Blue |
| -6 - -4 | Blue |
| -4 - -3 | Cyan |
| -3 - -2 | Cyan |
| -2 - -1 | Green |
| -1 - 0 | Light Green |
| 0 - 1 | Yellow |
| 1 - 2 | Yellow |
| 2 - 3 | Orange |
| 3 - 4 | Orange |
| 4 - 6 | Red |
| 6 - 10 | Red |



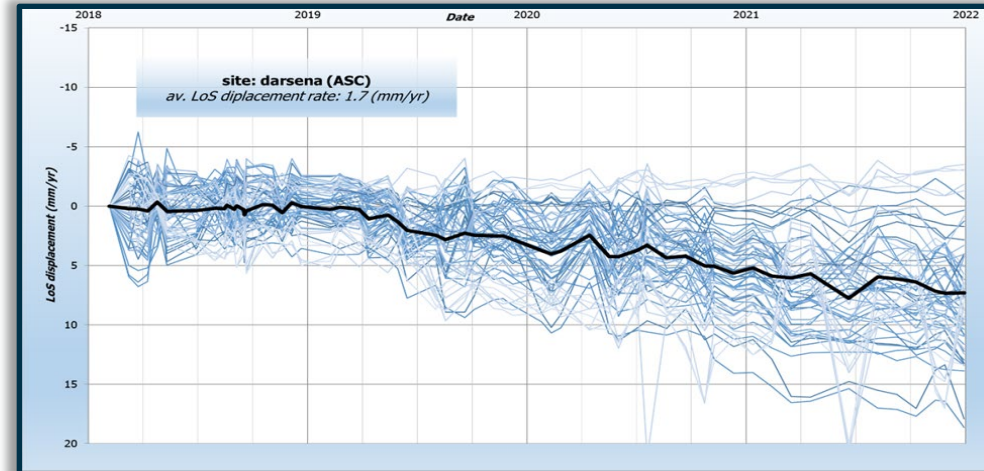
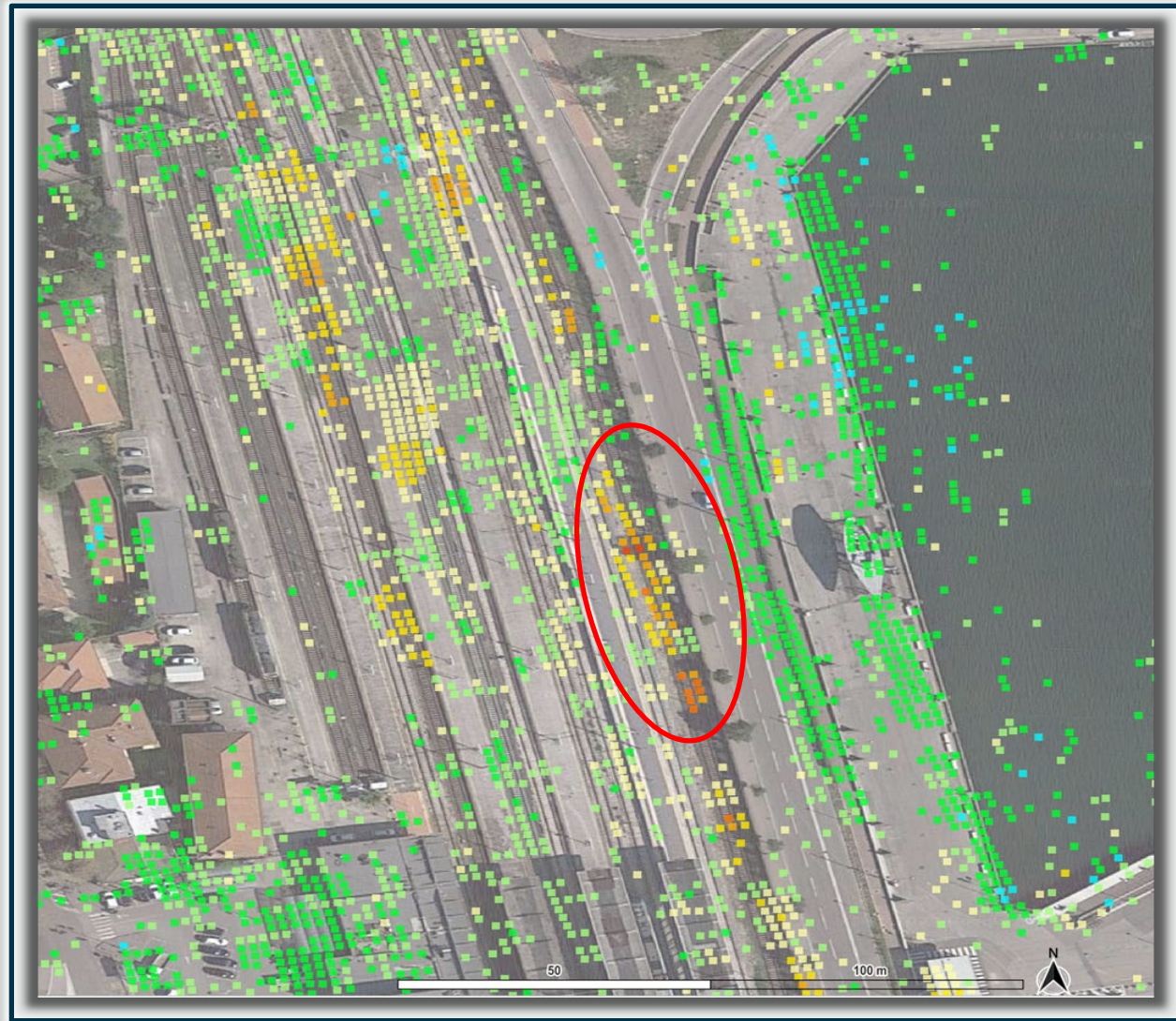
InSAR CSK 2018-2022: Visitors center



InSAR CSK 2018-2022: archaeological area north



ISPRA InSAR analysis – StaMPS/MTI - CSK 2018-2021



Final remarks



The main results of this study have highlighted the importance of the EGMS service for preliminary studies at medium resolution. The anomalies highlighted at the sub-regional and municipal scale must then be detailed in both spatial and temporal resolution in order to be correctly interpreted, validated and calibrated directly in situ.

- understanding the framing of actual **natural hazard** conditions.
- real knowledge of the site, to be acquired by **field survey** and **EO monitoring**, involving experts, managers and stakeholders too.
- **InSAR dataset is analysis** and eventually correct, to highlight the site-scale pattern of ground motion.
- **PSI data interpretation** of local events pointed out by previous steps, in order to understand the interaction between structure damage and ground motion. The actual relation reveals if and how building's damages are caused by structural weakness or by ground motion.



The final goal is to set up:

- integrated monitoring system
- mitigation and conservation plan

Thank you

<https://www.isprambiente.gov.it>

federica.ferrigno@isprambiente.it
francesco.menniti@isprambiente.it